

Fabriquer du Hasard

1° S3

LISA BAGET ARTHUR JACQUIN LUJZA LEHOCKA LOUNA MIGUEL

ENCADRANTS

THEMES

MATHEMATIQUES, BIOLOGIE

MADAME MANTE
MADAME PALOC
MADAME SOMBARD



TABLE DES MATIERES

In	tro	duct	ion		1
1		La pi	résen	ce du hasard en génétique	2
	1.	1	Intro	oduction au Darwinisme cellulaire	2
	1.	2	La di	ifférenciation cellulaire	2
		1.2.1	L	Création d'une protéine	3
		1.2.2	2	Protéine responsable de la différenciation cellulaire	3
	1.	3	L'ass	semblage des molécules	4
		1.3.1	L	Structure d'une molécule	4
		1.3.2	2	Divers assemblages possibles	4
2		Fabr	iquer	du hasard en informatique	6
	2.	1	Eval	uer la qualité du hasard	6
		2.1.1	L	Définitions du hasard	6
		2.1.2	2	Complexité de Kolmogorov	7
		2.1.3	3	De multiples critères	7
	2.	2	Prod	luire du hasard par un algorithme	8
		2.2.1	L	Principes de base	8
		2.2.2	2	La méthode de Von Neumann	8
		2.2.3	3	Les méthodes modernes	9
	2.	3	Fabr	iquer du hasard sans algorithme	9
		2.3.1	L	Chercher le hasard dans la nature	9
		2.3.2	2	Fabriquer beaucoup de hasard	9
		2.3.3	3	Un générateur quantique dans l'ordinateur	0
3		Hasa	ırd et	cerveau humain	1
	3.	1	Reco	onnaissance des régularités 1	1
		3.1.1	L	Représenter graphiquement une chaîne aléatoire	1
		3.1.2	2	Utilisation de la vision pour évaluer des générateurs aléatoires 1	2
		3.1.3	3	Autres pistes	2
	3.	2	Le ce	erveau produit-il du bon hasard ? 1	2
		3.2.1	L	Production de chaînes aléatoires	2
		3.2.2	2	Le hasard géométrique	3
		3.2.3	3	Les biais cognitifs	3
	3.	3	Nos	expériences	3
		3.3.1	L	Expérience A : production de hasard	4
		3 3 3)	Expérience B : production de hasard en utilisant un tableau 1	5

3.3.3	Expérience C : reconnaissance du hasard	17
Conclusion		20
Bibliographie		21
Annexes		22
Annexe A:	A propos des générateurs pseudo-aleatoires	22
Annexe B:	Tests statistiques	23
Annexe C :	Mersenne 20000	24
Annexe D :	: Mersenne 64	25
Annexe E:	Quantis 64	26
Annexe F:	RANDU 64	27
Annexe G :	Experience A (92)	28
Annexe H :	Experience B (64)	29
Annexe I : 0	Calculatrice TI 82 (64)	30

Introduction

Le hasard est présent au quotidien dans notre vie. La sécurité des comptes bancaires, nos téléphones portables dépendent de codes qui utilisent une grande quantité de nombres tirés au hasard. Si ce hasard est de mauvaise qualité, les codes seront également mauvais et ceci facilitera le piratage. Nous ne nous sommes pas intéressés à ces codes mais plutôt à ce hasard qui est aujourd'hui omniprésent.

Pourtant, au XIXe siècle, le hasard avait disparu des sciences (Marchal, 2004). Le mathématicien Pierre-Simon de Laplace écrivait en 1814 :

« Nous devons envisager l'état de l'Univers comme l'effet de son état antérieur et la cause de ce qui va suivre. Une intelligence qui pour un instant donné connaîtrait toutes les forces dont la nature est animée et la situation respective des êtres qui la composent, [...] embrasserait dans la même formule le mouvement des plus grands corps de l'Univers et ceux du plus léger atome : rien ne serait incertain pour elle, l'avenir comme le passé serait présent à ses yeux. »

Ce déterminisme laplacien enlève toute place au hasard. Par exemple le tirage d'une pièce à pile ou face n'est pas déterminé par le hasard mais par des lois physiques. Ce n'est qu'au début du XXème siècle que revient vraiment le hasard en sciences. Henri Poincaré écrit en 1908:

« Une cause très petite, qui nous échappe, détermine un effet considérable que nous ne pouvons pas ne pas voir, et alors nous disons que cet effet est dû au hasard...Mais, lors même que les lois naturelles n'auraient plus de secret pour nous, nous ne pourrons connaître la situation initiale qu'approximativement. Si cela nous permet de prévoir la situation ultérieure avec la même approximation, c'est tout ce qu'il nous faut, nous dirons que le phénomène a été prévu, qu'il est régi par des lois ; mais il n'en est pas toujours ainsi, il peut arriver que de petites différences dans les conditions initiales en engendrent de très grandes dans les phénomènes finaux... »

Si on veut prévoir le résultat d'un tirage à pile ou face, il faut des mesures infiniment précises, ce qui est impossible. Une minuscule erreur de mesure peut changer le résultat prévu. Même si le tirage est déterministe, son issue est imprévisible. En physique quantique la grande majorité des chercheurs s'accordent à dire que le hasard intervient au niveau de l'atome. Einstein n'y croyait pas et affirmait en 1927 « Dieu ne joue pas aux dés ». Pourtant, le mouvement des atomes serait bien soumis à des probabilités et le fait que le mouvement de la pièce soit déterministe est lié à la loi des grands nombres.

Si le hasard n'existe qu'au niveau de l'atome mais que le reste est entièrement déterminé par la loi des grands nombres (même si les imprécisions ou erreurs sur les mesures des paramètres font que le résultat peut être imprévisible), comment font les scientifiques pour *fabriquer du hasard* ? Comment peuvent-ils affirmer qu'il est de bonne qualité (ou de suffisamment bonne qualité pour sécuriser les codes bancaires) ? Est-il même possible de fabriquer du hasard ou de le mesurer ?

Dans la première partie, nous découvrirons les travaux de Jean-Jacques Kupiec, qui a découvert de nouvelles sources de hasard en biologie moléculaire. Il défend aujourd'hui la théorie du Darwinisme cellulaire.

Dans une seconde partie, nous verrons comment les mathématiciens mesurent la qualité du hasard, et comment les informaticiens en fabriquent (ou font semblant d'en fabriquer)

Enfin, dans la troisième partie, nous réaliserons nos propres expériences pour savoir si l'être humain est capable de fabriquer ou bien reconnaître du hasard.

1 LA PRESENCE DU HASARD EN GENETIQUE

Les scientifiques considèrent depuis longtemps que le fonctionnement des êtres vivants est entièrement déterminé: nous avons déjà parlé du déterminisme laplacien, et, au XVIIème siècle, Descartes utilise la métaphore de la machine pour expliquer le fonctionnement des êtres vivants. Encore en 1944, le physicien Erwin Schrödinger défend le déterminisme en biologie moléculaire, et dénie toute place au hasard dans le fonctionnement d'une cellule. Il considère que, même si chaque particule d'un système est soumise au hasard, la loi des grands nombres fait que le fonctionnement d'une cellule est entièrement déterministe.

Cette idée est attaquée par Jean-Jacques Kupiec, biologiste et épistémologue au Centre Cavaillès de l'Ecole Normale Supérieure de Paris, qui élabore une nouvelle théorie : le darwinisme cellulaire (Kupiec, 2009).

1.1 Introduction au Darwinisme cellulaire

Le Darwinisme cellulaire provient de la théorie de Darwin qui affirme que l'homme descend du singe dans son ouvrage *L'origine des espèces* publié en 1859. Darwin affirme qu'au cours du temps, les êtres vivants ont subi des mutations (sans en connaître les mécanismes exacts), c'est à dire une modification de l'ADN. De plus il développe sa théorie en expliquant qu'il existe un mécanisme qui permet d'éliminer des organismes (êtres vivants) dits « moins adaptés à leur environnement » : c'est la sélection naturelle.

Dans la théorie du Darwinisme cellulaire les gènes sont soumis à des mécanismes probabilistes qui permettent aux cellules de se différencier de manière aléatoire. Le développement embryonnaire ne

serait pas déterminé par un programme génétique mais par la sélection naturelle de notre organisme.

Nous nous appuierons sur les travaux et expériences de Jean-Jacques Kupiec. Depuis les années 1980 il défend la théorie du darwinisme cellulaire. Grâce à ces travaux, nous essaierons de comprendre où, aujourd'hui, les chercheurs voient du hasard dans le vivant.



Figure 1 Molécule d'ADN

Nous étudierons donc l'expression génétique (de l'information héréditaire du gène à la fabrication de molécules) à travers différents exemples.

1.2 LA DIFFERENCIATION CELLULAIRE

Selon la théorie dominante les cellules sont génétiquement programmées et leur spécialité serait donc prédéfinie. Jean-Jacques Kupiec considère au contraire que la cellule embryonnaire se développe de manière aléatoire pour définir sa spécialité (Kupiec, 2013). Ce processus se nomme la différenciation cellulaire.

Au début, les cellules possèdent toutes le même génome (ensemble des gènes), elles n'en exprimeraient qu'une partie et vont donc acquérir une identité par les gènes qu'elles expriment (soit en neurone, en cellules musculaires, etc...). Ce processus sélectif des gènes est le produit de plusieurs niveaux de régulation de l'expression génétique. L'un des processus majeurs de régulation est assuré par les protéines régulatrices qui se fixent directement sur l'ADN au niveau des gènes.

1.2.1 Création d'une protéine

Nous avons appris cette année que les protéines ouvrent la double hélice de l'ADN pour permettre la transcription. C'est donc à partir de cette séquence que la transcription est initiée. Après l'ouverture de la double hélice, la protéine qui s'appelle l'ARN polymérase associe les nucléotides libres (adenine, uracile, cytosine et guanine) aux nucléotides dans le noyau (adenine, thymine, cytosine et guanine) qui forment l'ADN, par complémentarité avec le brin transcrit de l'ADN. Puis l'ARN sort du noyau et se dirige vers le cytoplasme où la transcription est suivie par la traduction. La traduction correspond à une autre phase qui associe au brin de l'ARN messager un ARN transfert qui est constitué de trois nucléotides qui codent les différents acides aminés.

1.2.2 Protéine responsable de la différenciation cellulaire

Selon la théorie dominante, les protéines régulatrices se déplacent dans l'ordre d'un gène à l'autre, empêchant tout hasard. Nous proposerons une explication simplifiée des schémas ci-dessus.

Imaginons trois gènes positionnés à proximité de l'un de l'autre mais à des distances non équivalentes. Le gène 1 (G1) entraîne la différenciation des cellules embryonnaire en globule rouge, le gène 2 (G2) entraîne la différenciation des cellules embryonnaires en neurones et enfin, le gène 3 (G3) entraîne la différenciation des cellules embryonnaires en cellules musculaires.

La protéine régulatrice se trouve au niveau de G1 et interagit une première fois avant de se détacher. Elle se déplace ensuite au hasard le long de l'ADN avant de se fixer à nouveau de manière aléatoire.

Cependant, il y a plus de probabilité que cette protéine régulatrice vienne se refixer sur G1 qu'avec les autres gènes. Si la protéine régulatrice se trouve au niveau de G2, elle a plus de chance de se déplacer sur G3 qui est plus proche que G1, là encore on retrouve un hasard mais tout de même lié à la proximité des gènes environnant la protéine.

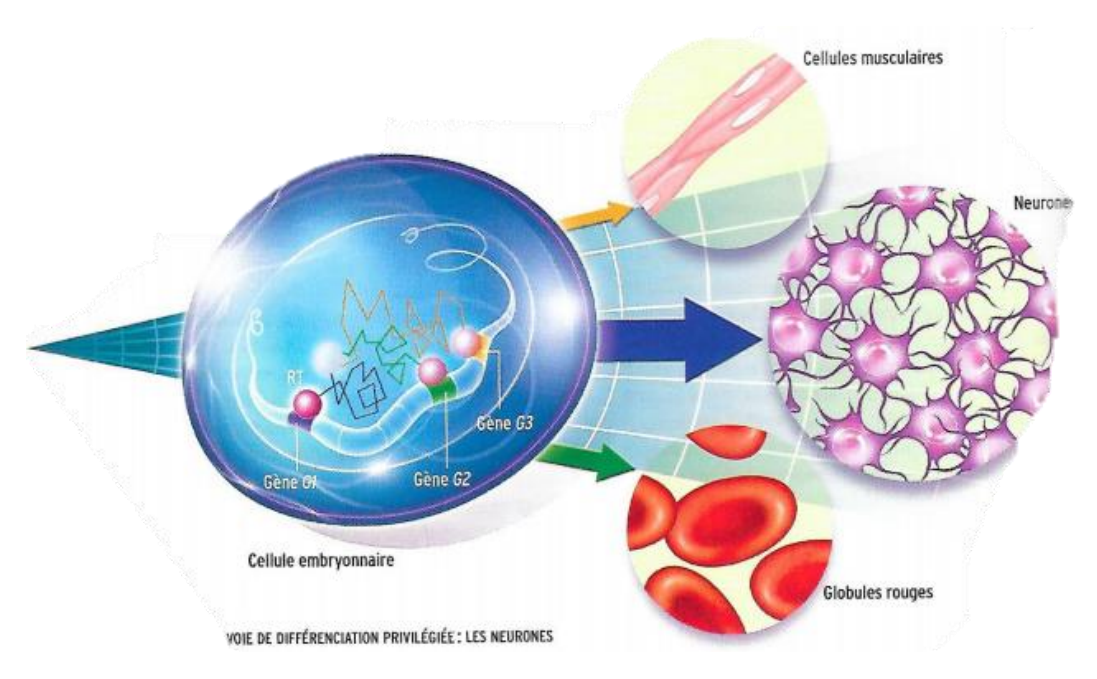


Figure 2 Voix de différenciation privilégiée: les neurones

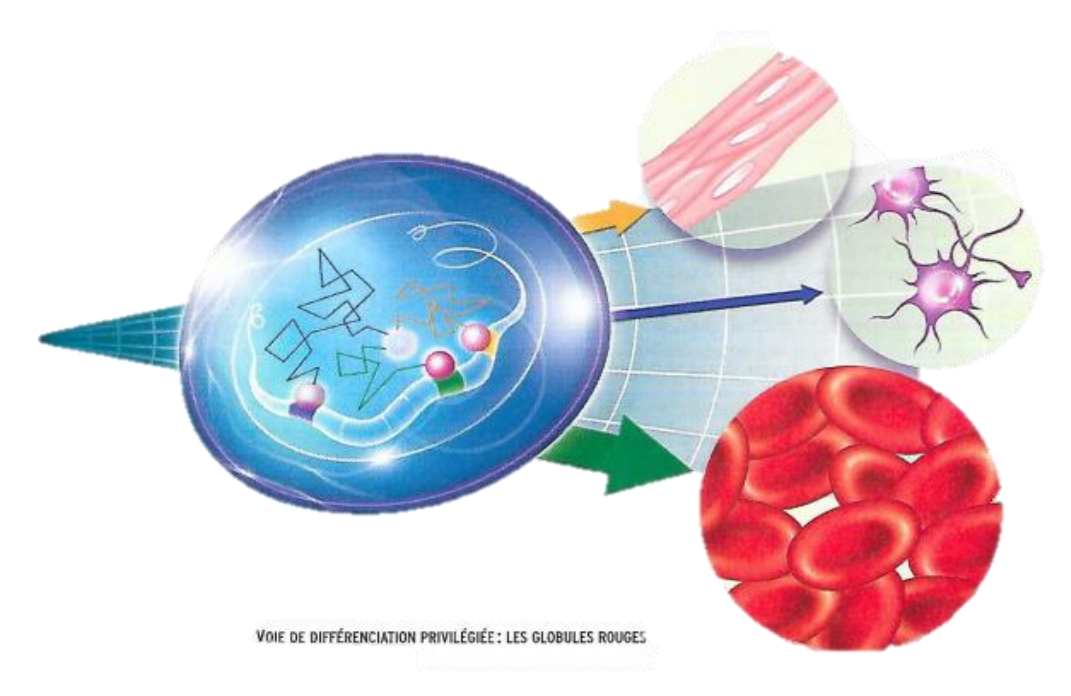


Figure 3 Voie de différenciation privilégiée: les globules rouges

D'après Kupiec la protéine se déplace de manière aléatoire autour de la molécule d'ADN et va se fixer sur un gène au hasard. Cette action déterminera la spécialité de cette cellule. Bien que dans l'organisme les chercheurs aient trouvé plusieurs cas ou le hasard n'a pas sa place, ici Jean-Jacques Kupiec trouve que la différenciation cellulaire fait intervenir le hasard (Chevassus-au-Louis, 2017). Il se peut cependant que des explications encore méconnues des chercheurs existent.

1.3 L'ASSEMBLAGE DES MOLECULES

Pour autre exemple nous pouvons nous appuyer sur le fonctionnement moléculaire.

1.3.1 Structure d'une molécule

Selon la théorie dominante, les molécules comme les protéines ont une structure tridimensionnelle, ce qui leur permet de s'emboîter selon un système clef qui exclut le hasard (enzyme substrat). Il existe donc un nombre limité d'interactions possibles entre ces molécules.

1.3.2 Divers assemblages possibles

Dans la démonstration de la théorie de Jean-Jacques Kupiec nous avons observé que les protéines peuvent interagir avec un grand nombre molécules différentes, dépendant de leur rencontre aléatoire que nous avons expliqué par les deux figures précédentes. Les molécules peuvent adopter une conformation précise en fonction de la molécule « partenaire » avec laquelle elles interagissent. Cependant le choix du « partenaire » est aléatoire et dépend donc des rencontres entre ces molécules. Beaucoup de protéines contiennent des régions désordonnées incapables de s'organiser en une structure tridimensionnelle fixe. Ces régions se stabilisent grâce à l'interaction avec une autre molécule. Cette plasticité confère à ces protéines de nombreux partenaires potentiels et donc plusieurs fonctions. La cartographie des interactions protéiques dans les organismes entiers montre qu'au moins 10% des protéines peuvent interagir avec plus de 100 partenaires. Le hasard est appliqué dans le choix de ces partenaires, ce hasard au niveau moléculaire existe, mais le nombre des molécules impliquées est tellement grand que la variabilité globale du système devient négligeable. De plus, les événements aléatoires au niveau moléculaire débouchent sur des comportements reproductibles au

niveau de l'organisme. Même si le hasard au niveau des molécules n'est pas très important, cette théorie probabiliste nous permet à expliquer plusieurs phénomènes. Par exemple, la théorie déterministe n'est pas capable d'expliquer que 95% de l'ADN ne code aucun gène, ou que des phases de mortalité massive participent au développement, car ce n'est pas logique que l'évolution conserve de l'ADN qui n'est pas indispensable ainsi que des cellules vouées à mourir. Au contraire, si ces processus sont aléatoires, c'est normal qu'il y ait des échecs.

La théorie de Kupiec nous présente la possibilité d'un hasard au sein de la protéine régulatrice. Cette théorie a été approuvée par de nombreux scientifiques croyant en l'aléatoire dans le domaine biologique. La théorie pose toujours des doutes mais Jean-Jacques Kupiec étudie le darwinisme cellulaire et défend la variabilité dans la différenciation cellulaire. Deux cellules d'une même lignée ne sont jamais strictement identiques. Comme il l'écrit :

« On a toujours considéré que cette variabilité était du bruit que l'on délaissait. Dorénavant, elle doit être étudiée pour elle-même, en tant que paramètre fondamental du vivant. »

2 FABRIQUER DU HASARD EN INFORMATIQUE

Un ordinateur ne fait rien au hasard. Il est composé de circuits, et les valeurs de sortie sont entièrement déterminées par les valeurs d'entrée. Pourtant, on a l'impression qu'il donne parfois des résultats

DILBERT By Scott Adams



Figure 4 Dilbert, par Scott Adams

aléatoires, par exemple quand nous utilisons la fonction *aleat* sur notre calculatrice, ou quand, dans un jeu vidéo, la même action ne produit pas toujours le même résultat. L'ordinateur fait donc semblant de fabriquer du hasard. Pour ceci, les mathématiciens ont dû d'abord définir ce qui est du

« bon hasard » (2.1), puis les informaticiens ont écrit des algorithmes pour le produire (2.2). Enfin, nous verrons que les ordinateurs utilisent aussi aujourd'hui la nature pour produire du hasard (2.3).

2.1 EVALUER LA QUALITE DU HASARD

Nous avons vu en 3° que « une expérience aléatoire est une expérience dont on ne peut pas prédire le résultat ». En probabilité, on suppose qu'il existe un hasard parfait (« une pièce non truquée », « un dé parfaitement équilibré »), pourtant nous avons vu que l'existence de ce hasard était débattu. Nous nous posons une autre question: en observant les résultats d'une expérience, nous nous demandons si ces résultats peuvent provenir du hasard.

2.1.1 Définitions du hasard

Les mathématiciens du XXe siècle ont cherché à définir ce qu'est une chaîne aléatoire (Wikipedia, 2009). Mais, dans les années 1930, le mathématicien français Emile Borel a affirmé, par un paradoxe, que le hasard est indéfinissable. Il commence par affirmer qu'une chaîne aléatoire est une chaîne sans caractéristique particulière. Mais le fait de ne pas avoir de caractéristique est déjà une caractéristique.

En 1966, le logicien suédois Per Martin-Löf définit une chaîne aléatoire comme une chaîne n'ayant aucune caractéristique particulière « effectivement testable », c'est-à-dire vérifiable par un algorithme. Il limite les caractéristiques et évite ainsi le paradoxe de Borel.

En 1971, le mathématicien allemand Claus-Peter Schnorr définit une chaîne aléatoire comme une chaîne contre laquelle aucune martingale n'est possible. Il voit ceci comme un jeu : si, grâce à qu'il a déjà observé, il peut prédire (en utilisant un algorithme) le chiffre suivant avec plus d'une chance sur deux, alors il peut gagner de l'argent en pariant sur le résultat, et la chaîne n'est donc pas au hasard.

En 1974, l'américain Gregory Chaitin et le russe Leonid Levin utilisent les travaux du russe Andreï Kolmogorov pour proposer une autre définition. Une chaîne aléatoire est une chaîne *incompressible*, c'est-à-dire qu'il n'existe pas d'algorithme plus petit que la chaîne qui permet de générer cette chaîne. Comme les trois définitions sont équivalentes, nous nous concentrons sur celle-ci.

2.1.2 Complexité de Kolmogorov

La définition de Levin et Chaitlin repose sur la complexité de Kolmogorov (Wikipedia, 2005), qui mesure la quantité de hasard dans une chaîne. Prenons par exemple la chaîne de taille 200.000

Un algorithme permettant de générer cette chaîne est simplement celui qui dit de l'afficher. La taille de cet algorithme (nombre de caractères pour l'écrire) est 200000+8. Mais cette chaîne peut également être générée par l'algorithme « *Répéter 100000 fois '01'* », dont la taille (le nombre de caractères dont on a besoin pour l'écrire) est 25. Comme la taille de ce programme est plus petite que la taille de la chaîne, la chaîne n'est pas aléatoire.

Définition : La complexité de Kolmogorov d'une chaîne est la taille du plus petit programme qui génère cette chaîne.

La complexité de Kolmogorov mesure la quantité de hasard d'une chaîne. Quand la complexité d'une chaîne est égale à sa taille, ça veut dire que la chaîne est aléatoire. Nous voulions utiliser cette complexité pour notre TPE : il nous suffisait de trouver un programme calculant cette complexité pour mesurer le hasard. Malheureusement, à cause d'un théorème, ce programme ne peut pas exister.

Théorème : La complexité de Kolmogorov n'est pas calculable.

Il n'est donc pas possible d'écrire un algorithme qui calcule cette complexité pour n'importe quelle chaîne. C'est pour ça que nous n'avons pas pu trouver un tel programme sur internet.

2.1.3 De multiples critères

S'il est impossible de mesurer la quantité de hasard d'une chaîne, les chercheurs ont créé des tests afin de déterminer si une chaîne n'est pas aléatoire. Lorsqu'une chaîne réussit tous ces tests, ça ne veut pas dire qu'elle est aléatoire, mais qu'aucun test n'a encore été inventé pour la faire échouer. Le NIST américain (National Institute of Standards and Technology) utilise 15 tests différents pour garantir la qualité d'un générateur aléatoire (Barker, et al., 2016). Ici, nous expliquerons deux de ces tests :

Frequency (Monobits) Test Ce test est en fait un test de de moyenne. Considérons la chaîne

La moyenne des valeurs prises par cette chaîne de taille 80 est (0x79 + 1x1)/80 = 1/80 = 0,0125. Or, si cette chaîne avait été obtenue de façon aléatoire, l'espérance serait de 0,5. Plus la chaîne est grande, plus la probabilité d'obtenir un tel écart entre la moyenne et l'espérance est faible, et donc plus la probabilité que cette chaîne est aléatoire est faible.

Test For Frequency Within A Block Ce deuxième test est aussi appelé test de *k*-uniformité. Expliquons d'abord ce qu'est un test de 2-uniformité. On considère la chaîne :

constituée de 40 '0' suivis de 40 '1'. La moyenne est cette fois-ci de 0,5 et donc cette chaîne va réussir le test de la moyenne (frequency monobits test). C'est normal, car la moyenne s'intéresse au nombre d'apparitions de '0' et de '1', mais pas à leur position. On regarde maintenant tous les blocs de taille 2, c'est-à-dire les 79 paires de termes. On trouve 39 fois '00', une fois '01', 39 fois '11', et jamais '10'. Or si cette chaîne était aléatoire, ces 4 paires possibles seraient équiprobables. Comme cette chaîne est assez grande, et que l'écart entre le nombre d'apparition des blocs et ce qui est prévu par les probabilités est grand, cette chaîne a très peu de chances d'être aléatoire.

Cependant, comme la 2-uniformité ne regarde que des blocs de taille 2, on peut quand même tromper ce test. Par exemple, on considère la chaîne

On trouve 20 fois '00', 20 fois '11', 20 fois '01' et 19 fois '10'. Cette chaîne réussit donc le test de 2-uniformité, mais ce n'est bien évidemment pas une chaîne aléatoire, puisque elle est obtenue en répétant 20 fois '0011'. On ne sera pas trompé en prenant des blocs de taille plus grande : dans un test de k-uniformité, on compte les blocs différents de taille k. Plus k est grand, plus on a de chances de repérer qu'une chaîne n'est pas aléatoire.

2.2 PRODUIRE DU HASARD PAR UN ALGORITHME

Nous allons maintenant tenter de comprendre comment fonctionne un générateur aléatoire.

2.2.1 Principes de base

Un générateur aléatoire est en fait une suite définie par récurrence (Wikipedia, 2005). On se donne un entier u_0 appelé la *graine*, et la suite est définie par $u_{n+1} = f(u_n)$ (chaque terme est défini en fonction du terme précédent), où f est une fonction de \mathbb{N}^+ dans \mathbb{N}^+ .

Par exemple, prenons $u_0 = 12$ et f(n) = 2n.

$$u_1 = f(u_0) = f(12) = 24$$
; $u_2 = f(u_1) = f(24) = 48$; $u_3 = f(u_2) = f(48) = 96$;...

A chaque fois qu'un programme utilise une fonction qui a besoin d'un nombre aléatoire, le générateur aléatoire produit le terme suivant de la suite, et utilise ce terme pour calculer ce dont a besoin le programme.

Le problème de la période. Supposons que les premiers termes de notre générateur aléatoire soient : $u_0 = 5$, $u_1 = 7$, $u_2 = 12$, $u_3 = 15$, $u_4 = 4$, $u_5 = 12$. On remarque que $u_2 = u_5 = 12$. Donc $u_6 = f(u_5) = f(u_2) = u_3 = 15$. De même $u_7 = f(u_6) = f(u_3) = u_4 = 4$ et $u_8 = f(u_7) = f(u_4) = u_2 = 12$. Les nombres générés seront donc 5, 7, 12, 15, 4, 12, 15, 4, 12, 15, 4, 12, 15, 4, 12, ...

Nous avons écrit en vert les termes jusqu'à ce qu'il y ait une répétition. Jusqu'ici, tout se passe bien... Mais le premier terme rouge est un nombre que nous avions déjà trouvé. A partir de là, on ne peut que répéter la séquence de termes entre le premier 12 (vert) et le second (rouge). La suite n'est pas aléatoire puisqu'on peut la compresser par *Ecrire '5, 7, 12, 15, 4'*, puis répéter '12, 15, 4'. Or ceci arrivera forcément : puisque dans un ordinateur il y a une valeur maximale pour les entiers, il y aura forcément une répétition à un moment donné. On appelle *période* la taille de la séquence (en vert) avant qu'il y ait une répétition. Ici la période est de 5. Une bonne caractéristique pour un générateur aléatoire sera d'avoir une période la plus grande possible (pour maintenir l'illusion du hasard le plus longtemps possible). Bien entendu, la période dépend de la graine et de la fonction f utilisée.

2.2.2 La méthode de Von Neumann

Von Neumann est un mathématicien allemand. Il met au point les premiers ordinateurs et participe au programme nucléaire. Il a aussi inventé, en 1946, le premier générateur aléatoire reposant sur un algorithme. C'est la méthode des carrés médians (Wikipedia, 2004).

Le générateur de Von Neumann génère des nombres de taille N, c'est-à-dire qu'on peut écrire avec N chiffres entre 0 et 9. Si N = 6, la valeur maximale générée est 999999. Maintenant, supposons que le générateur de Von Neumann ait généré le nombre u_k . Nous allons expliquer ce que fait la fonction f qui génère u_{k+1} .

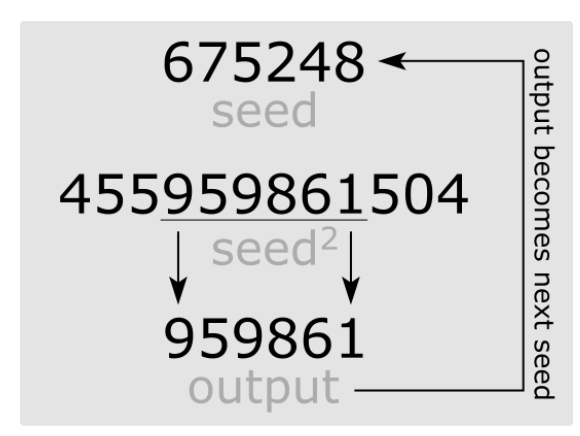


Figure 5 Etape de l'algorithme de Von Neumann

Dans cet exemple, on a u_k = 675248. On met ce nombre au carré et on obtient 455959861204 qui est un nombre trop grand, puisqu'il a 12 chiffres. On sélectionne alors les 6 chiffres du milieu pour obtenir u_{k+1} = 959861. On calculera u_{k+2} à partir de u_{k+1} de la même manière.

Le problème de cette méthode est que la période est trop courte (surtout si on choisit mal la graine). Cet algorithme a été amélioré par de nombreuses méthodes toujours en application de nos jours.

2.2.3 Les méthodes modernes

En 1948, Derrick Lehmer introduit une nouvelle famille de générateurs aléatoires, les générateurs congruentiels linéaires ou GCL (Wikipedia, 2005). Ces générateurs sont encore utilisés aujourd'hui dans de nombreux logiciels, même si ils peuvent être mauvais quand on choisit mal les paramètres (Gillespie, 2016). Ils sont peu à peu remplacés par de meilleurs générateurs comme le Mersenne Twister qui a de meilleurs scores aux tests du NIST.

Par exemple, le tableur EXCEL utilise un GCL (Pollock, 2014), notre calculatrice TI-82 mélange les résultats de deux GCLs (Inconnu, 2015), et le langage de programmation PHP propose un GCL et, depuis la version 4 (PHP, 2005), également un Mersenne Twister qui est recommandé si on souhaite du bon hasard.

2.3 FABRIQUER DU HASARD SANS ALGORITHME

Une chaîne générée par un algorithme n'est évidemment pas aléatoire : sa complexité de Kolmogorov est inférieure à la taille de l'algorithme. Si on juge que c'est « du bon hasard », c'est qu'on n'a pas encore inventé le test permettant de prouver que ce n'est pas du hasard. C'est une course sans fin entre de meilleurs générateurs aléatoires et de meilleurs tests. Et si la solution n'était pas algorithmique ?

2.3.1 Chercher le hasard dans la nature

Imaginons qu'un humain jette des pièces parfaitement équilibrées à pile ou face, de manière à ce que le résultat soit imprévisible. S'il notait tous ses résultats sous forme d'une chaîne de '0' et de '1', obtiendrait-il une chaîne parfaitement aléatoire ? C'est ce que suppose la théorie des probabilités. Mais le problème est qu'une telle méthode ne nous permet pas de fabriquer beaucoup de hasard rapidement. Pour produire une chaine de taille 1 million, il faudrait au moins 1 million de secondes, c'est-à-dire plus de 11 jours. Or les applications informatiques (sécurité bancaire, GPS, ...) ont aujourd'hui besoin de milliards et de milliards de bits aléatoires chaque jour.

2.3.2 Fabriquer beaucoup de hasard

Même si l'idée d'utiliser la nature pour générer du hasard semble bonne, il faut trouver d'autres méthodes pour fabriquer beaucoup de hasard. Parmi toutes les idées proposées, on peut par exemple

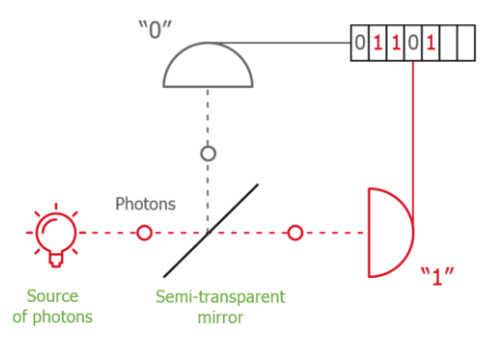


Figure 6 Chaîne générée par physique quantique

citer la mesure des variations du bruit atmosphérique (utilisée par le générateur du site https://www.random.org/integers/).

Une idée récente est d'utiliser les propriétés aléatoires de la physique quantique. Dans le schéma ci-contre, des photons sont envoyés un par un (très rapidement) sur un miroir semi-transparent incliné à 45 degrés. La physique quantique nous dit (mais ne nous demandez pas pourquoi) que chaque photon a une chance sur deux de continuer sa trajectoire, et une chance sur deux d'être dévié de 90

degrés par rapport à sa trajectoire initiale. Dans tous les cas, un capteur repère l'arrivée du photon, note 0 si il a été dévié et 1 sinon. Une telle expérience nous donne 1 bit aléatoire par photon envoyé.

2.3.3 Un générateur quantique dans l'ordinateur



Figure 7 Carte Quantis QRNG PCIe 16Mb

Aujourd'hui, la société IDQ, par exemple, propose des cartes que l'on peut brancher sur la carte mère de n'importe quel ordinateur, qui contiennent un micro-appareil qui réalise l'expérience que nous avons décrite. Dans leur brochure (SA, 2017) ils affirment que cette carte, qui coûte quand même 3000€, peut produire une chaîne parfaitement aléatoire de taille 16.000.000 en une seconde. Les chaînes produites réussissent tous les tests du NIST et peuvent donc être considérées, en l'état actuel des connaissances, comme parfaitement aléatoires.

Si on n'a pas une telle carte, un site comme http://www.randomnumbers.info/ permet de récupérer gratuitement des chaînes aléatoires qu'elle produit. Ce sont ces chaînes aléatoires que nous allons utiliser lors des expériences de notre dernière partie.

3 HASARD ET CERVEAU HUMAIN

L'être humain a tendance à attribuer au hasard les évènements. «J'ai eu 15 amendes pour excès de vitesse cette année, quelle malchance», dira un automobiliste imprudent. D'un autre côté, l'être humain a aussi tendance à trouver des explications à ce qui est purement du hasard : « à chaque fois que j'oublie mon parapluie, il pleut ». Nous utilisons des expériences menées par des informaticiens pour savoir si l'être humain est capable de reconnaitre si une expérience est au hasard ou non (3.1), puis des expériences relatées dans deux articles de J.-P. Delahaye pour savoir si il peut lui-même produire du hasard de bonne qualité (3.2). Enfin, nous nous inspirons de tous ces travaux pour mener nos propres expériences (3.3).

3.1 RECONNAISSANCE DES REGULARITES

Nous avons vu au chapitre précédent qu'il est difficile d'écrire un programme reconnaissant si une chaîne n'est pas aléatoire. Nous allons voir que le cerveau humain est parfois utilisé comme un test très efficace pour reconnaitre les chaînes non aléatoires.

3.1.1 Représenter graphiquement une chaîne aléatoire

Afin d'expliquer les expériences qui ont été réalisées par des chercheurs, nous avons conçu un petit exemple qui montre comment on peut représenter, par une image, une chaîne. Considérons la chaîne de taille 121 suivante :

Il est difficile, en la regardant, de savoir si cette chaîne est aléatoire ou pas. Mais on peut mettre ces chiffres dans un tableau de taille 11x11. Chaque case est coloriée en noir si le chiffre est 1, et est

coloriée en blanc si le chiffre est 0.

1	0	0	1	1	1	1	1	0	0	1
0	0	1	0	0	1	0	0	1	0	0
0	1	1	1	0	1	0	1	1	1	0
1	0	1	0	0	1	0	0	1	0	1
1	0	0	0	1	1	1	0	0	0	1
1	1	1	1	1	0	1	1	1	1	1
1	0	0	0	1	1	1	0	0	0	1
1	0	1	0	0	1	0	0	1	0	1
0	1	1	1	0	1	0	1	1	1	0
0	0	1	0	0	1	0	0	1	0	0
1	0	0	1	1	1	1	1	0	0	1

Tableau 1 Chaîne organisée dans un tableau

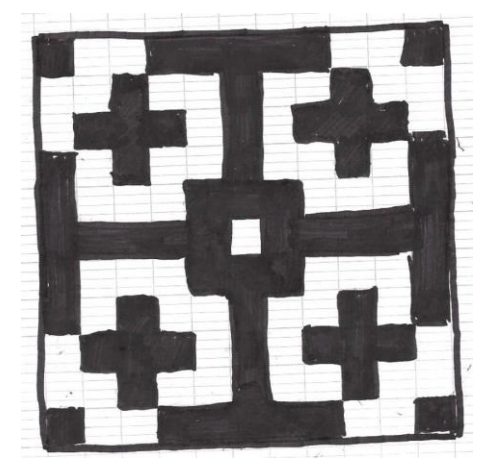
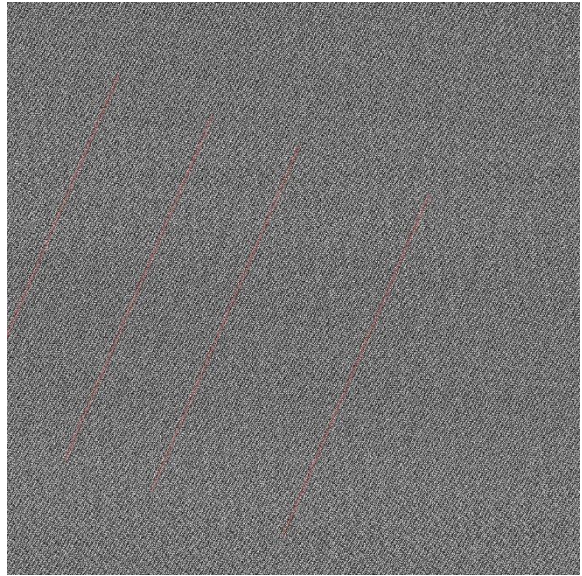


Figure 8 Représentation graphique de la chaîne

On remarque que le dessin obtenu, une croix de Jérusalem, n'est vraiment pas aléatoire. Le cerveau traite l'image immédiatement et reconnait des régularités. Pourtant, nous avons conçu cet exemple (en rajoutant du noir dans les coins, en créant un trou au milieu, ...) pour tromper les tests statistiques. En effet, il y a dans cette chaîne 64 apparitions de '1' et 57 apparitions de '0', ce qui est dans la marge d'erreur acceptée par le *Frequency (Monobits) Test*. De plus, il y 27 apparitions de '00', 31 de '01', 30 de '10' et 32 de '11', ce qui est aussi dans la marge d'erreur acceptée par le *Test For Frequency Within A Block* (en se limitant à des blocs de taille 2). On voit grâce à notre petit exemple que le cerveau humain peut percevoir des régularités qui ne sont pas repérées par les tests (les plus simples) du NIST.

3.1.2 Utilisation de la vision pour évaluer des générateurs aléatoires

Une méthode similaire est utilisée pour évaluer les chaînes générées par différents générateurs aléatoires (Inconnu, 2015). Dans cet article de blog, l'auteur considère des nombres entre 0 et N² produits par différents générateurs aléatoires. A chacun de ces nombres correspond un point placé dans une image de taille NxN. Chaque fois qu'un nombre apparait, on fonce le point qui lui correspond. Il génère ainsi des images qui illustrent le tirage de très nombreux nombres aléatoires.



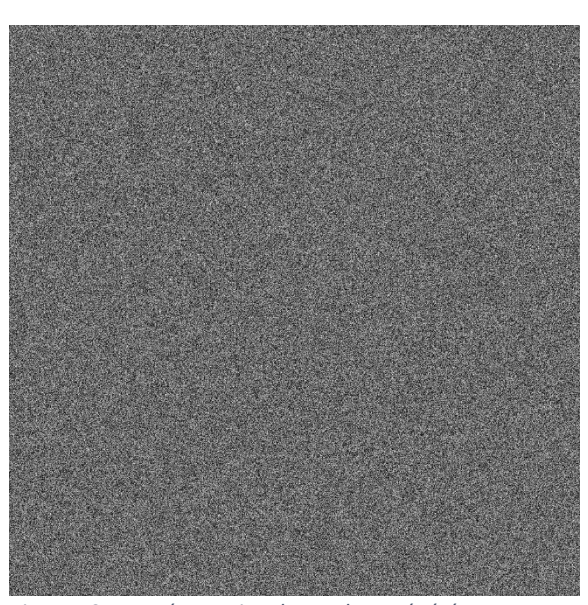


Figure 9 Représentation de nombres générés par Ocaml

Figure 10 Représentation de nombres générés par Fortuna

L'image de gauche utilise cette technique pour montrer que le générateur aléatoire utilisé dans le langage OCaml (un GCL) n'est pas de très bonne qualité. En effet, nous voyons des bandes diagonales plus foncées qui se répètent régulièrement (l'auteur les a soulignées en rouge, et on les voit encore mieux sur les images du site web). Dans l'image de droite, il utilise des nombres générés par le programme Fortuna (d'après la déesse grecque du hasard). Nous ne percevons aucune régularité.

Le cerveau humain peut ainsi repérer grâce à la vision des régularités qui seraient très difficiles à repérer par des tests statistiques. C'est ce qui permet aux experts de concevoir de nouveaux tests qui détecteront ces régularités perçues intuitivement par notre cerveau.

3.1.3 Autres pistes

Nous venons de voir que, en choisissant une bonne méthode de représentation graphique pour des données aléatoires, la vision et le cerveau humain permettaient de percevoir intuitivement des régularités qui indiquent clairement un mauvais hasard. D'autres sens nous permettraient-ils d'arriver au même résultat? Dans la page https://www.random.org/audio-noise/, une séquence aléatoire est utilisée pour produire une représentation sonore de ce hasard. Il n'est malheureusement pas possible d'utiliser ce programme avec un mauvais hasard pour vérifier si nous pouvons entendre les régularités.

3.2 LE CERVEAU PRODUIT-IL DU BON HASARD?

Pour répondre à cette question, nous avons lu deux articles de la revue *Pour la Science* écrits par Jean-Paul Delahaye, professeur d'informatique à l'université de Lille.

3.2.1 Production de chaînes aléatoires

Dans (Delahaye, 2004), une expérience consiste à demander à des sujets de générer une chaîne de '0' et de '1' comme si c'était au hasard. D'après ces expériences, le résultat montre à peu près le même nombre de '0' et de '1'. Pourtant, cette expérience montre que les sujets produisent beaucoup trop

d'alternances, c'est-à-dire de '1' suivis de '0' ou de '0' suivis de '1'. Ceci veut exactement dire que le test de 2-uniformité donnera trop de '01' et de '10'. Dans cette expérience, il y a 60% d'alternances et 40% de répétitions, alors que la proportion attendue est de 50-50. Or il y a très peu de chances qu'une chaîne aléatoire vérifie un tel écart (0,28% avec une chaîne de taille 200).

Cette expérience montre que le cerveau humain produit du mauvais hasard. Une autre expérience consiste à demander à un sujet A si le hasard produit par B est de bonne qualité. Le résultat est que la « reconnaissance du hasard » est également mauvaise, ce qui contredit apparemment ce que nous avons dit précédemment, mais cette expérience n'a pas utilisé d'image pour aider la reconnaissance.

3.2.2 Le hasard géométrique

L'article (Delahaye, et al., 2006) décrit des expériences menées par le chercheur canadien John Christie. Dans une première expérience, on demande à 600 personnes de placer chacun 3 points au hasard dans un carré, puis on superpose dans une même image les 1800 points obtenus.

Le résultat, représenté ci-contre, montre une grande symétrie. Les sujets ont privilégié le centre du carré et certains axes (diagonales, axe vertical principal). Tout se passe comme si, lorsqu'on place au hasard un point dans une figure géométrique, on privilégie les zones qui correspondent à des propriétés mathématiques bien connues.

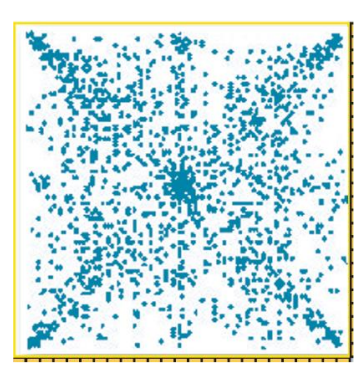


Figure 11 1800 points au hasard

3.2.3 Les biais cognitifs

Toujours dans (Delahaye, 2004), des expériences ont montré que la production de hasard par le cerveau humain était faussée par des biais cognitifs. Par exemple, lorsqu'on demande au hasard à un sujet un chiffre entre 0 et 9 (chacun a une probabilité de 10%), le chiffre 7 apparaît dans 30% des cas. Il semble être jugé plus aléatoire que les autres, car on lui associe moins de propriétés mathématiques évidentes. Ceci est paradoxal car pour Christie (3.2.2), ils favorisent les zones qui ont le plus de propriétés.

Un autre biais cognitif est que lorsqu'on donne le choix entre deux alternatives, le biais de positivité pousse les sujets à choisir en majorité celle qui semble positive : oui ou non donne oui à 62%, aimer ou détester donne aimer à 83%, indemne ou blessé donne indemne à 68%. Même lorsque les alternatives sont neutres, un autre biais intervient, le biais de préséance : les sujets choisissent majoritairement l'alternative qui a été présentée en premier. Lorsque l'on demande « pile ou face », « pile » sera choisi plus souvent car proposé en premier. De façon surprenante, ce biais de préséance semble plus marqué chez les hommes que chez les femmes.

3.3 Nos experiences

Nous avons réalisé plusieurs expériences pour savoir si l'être humain peut produire et reconnaitre du hasard « de bonne qualité ». Pour la production de hasard, nous avons fait remplir des fiches à plus de 150 personnes et obtenu ainsi presque 10000 bits de données. Nous avons vite compris qu'il n'était pas possible d'effectuer des tests statistiques sérieux sans un traitement informatique (surtout que nous voulions aussi comparer ces résultats avec de vrais générateurs aléatoires). Comme nous n'avons aucune connaissance en programmation, nous avons cherché de l'aide. Nous remercions donc deux étudiants, Hugo Barral (images en PHP/SVG, formulaire HTML) et Hugo Piquard (statistiques en PHP). Nous leur faisions parvenir nos algorithmes, ils nous renvoyaient des programmes que nous testions sur de petites données, et recommencions souvent pour des corrections. Enfin, nous avons pu entrer les données de nos tests et générer les statistiques que nous présentons ici.

3.3.1 Expérience A : production de hasard

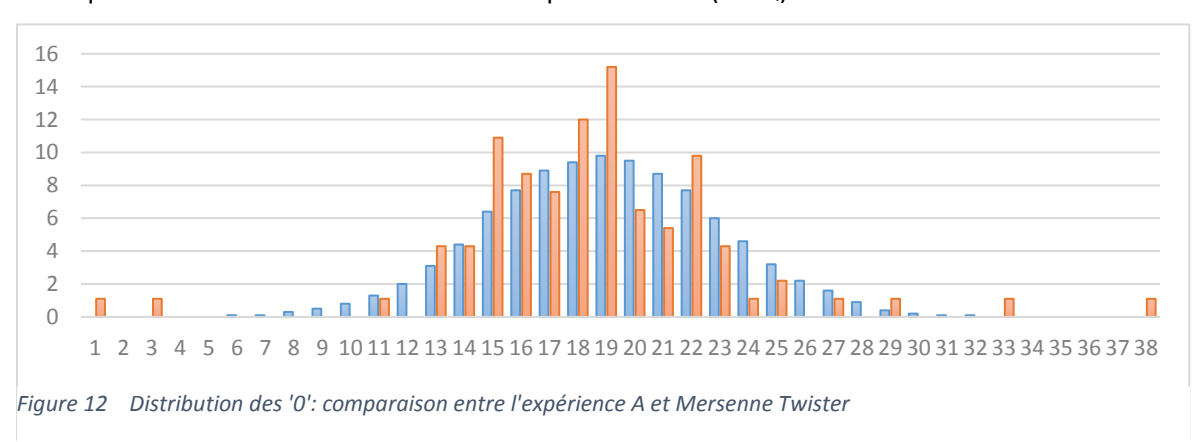
Notre première expérience est similaire à celle relatée par Delahaye (Delahaye, 2004), mais nous avions besoin de nos propres données comme élément de comparaison avec notre deuxième expérience. Nous avons demandé à plusieurs personnes (camarades de classe, famille, inconnus à la terrasse d'un Mac Donald) de remplir la fiche ci-dessous afin de créer une chaîne de taille 64. Nous avons reçu 92 réponses.

TPE – La fabrique du hasard – Baget, Jacquin, Lehocká, Miguel, 1ere S3– Lycée Nevers 2017-2018								
Vous devez remplir chaque case du tableau ci-dessous avec un chiffre qui sera soit 0, soit 1 (un chiffre par								
case). Attention, chaque case devra être remplie « au hasard », comme si vous aviez tiré à pile ou face. Vous								
ne devez utiliser aucune source extérieure de hasard (ne tirez pas à pile ou face, ne générez pas de nombre								
avec un appareil électronique,).								

Frequency (monobit) test: Parmi les 92x64 = 5888 chiffres que nous avons générés, il y a 49,2% de '0' et 50,8% de '1'. Ce test est réussi, comme dans l'expérience de (Delahaye, 2004), et nous ne voyons pas non plus le biais de préséance en faveur des '0'. Pourtant, nous avions bien fait attention, dans nos consignes, de toujours citer le '0' en premier. Même quand on ne regarde que le premier chiffre répondu, 51% des résultats commencent par '0', ce qui n'est pas très significatif. L'article de Delahaye suggère que ce biais de préséance est peut-être lié au sexe. Malheureusement, nous n'avons gardé cette information que pour 23 des personnes qui ont passé le test (le prénom avait été inscrit sur la feuille). Sur les 14 hommes, 10 ont commencé par '0' (71,4%) et sur 9 femmes, 5 ont commencé par '0' (55,5%). Il semble donc que le biais de préséance est plus marqué chez les hommes que chez les femmes, mais nous n'avons pas réalisé assez d'expériences pour en être certain.

De plus, le nombre total de '0' et de '1', très proche de 50%, ne nous dit pas comment les personnes ont répondu individuellement. Il pourrait y avoir la moitié qui ont répondu beaucoup de '0', et la moitié qui ont répondu beaucoup de '1'. Nous avons donc construit deux séries statistiques dont les valeurs sont le nombre de '0' dans une chaîne, et avons calculé les fréquences (le pourcentage de personnes qui ont répondu cette valeur). La première série (en rouge dans l'histogramme ci-dessous) correspond aux résultats de notre expérience A. La seconde série (en bleu dans l'histogramme) correspond à 20000 créations de chaînes (également de taille 64) par le très bon générateur Mersenne Twister. Cette seconde série nous permet de comparer nos résultats avec ce qui est normalement attendu.

Que pouvons-nous dire de ces deux distributions? Les barres bleues, obtenues avec Mersenne Twister, indiquent une parfaite courbe en cloche centrée sur 32 (la moitié de 64). Cette courbe ressemble à celle qu'on devrait obtenir si on calculait les probabilités $P(X = x_i)$.



Les barres rouges, obtenues grâce à notre expérience, donnent un résultat assez différent. Tout d'abord, il y a 4 personnes chez qui le nombre de '0' est très anormal. Il se peut que ces personnes estiment très mal ce que doit être une chaîne aléatoire, mais il peut y avoir d'autres explications. Par exemple, une personne nous a dit « à la fin je n'ai mis que des 0 parce que j'étais pressé ».

Si on ignore ces résultats anormaux, on observe 3 pics : le premier est centré en 32, il y a autant de '0' que de '1'. Trop de personnes ont donné ce résultat « parfait » par rapport à ce qui est attendu dans la courbe bleue. Ceci se comprend car plusieurs personnes nous ont dit avoir essayé « de mettre autant de '0' que de '1' ». Les deux autres pics (à 28 et à 35 '0') montrent un déséquilibre: trop souvent, les personnes favorisent les '0' ou les '1'. Alors que le résultat moyen sur toutes les expériences était satisfaisant, nous identifions un groupe trop important qui favorise les '0' ou les '1'. Si nous avions gardé les informations sur les sexes, il aurait été intéressant de voir le lien avec le biais de préséance.

Test For Frequency Within A Block Nous avons calculé le nombre de chaînes de taille 2 différentes sur l'ensemble des réponses. Nous obtenons 22,9% de '00', 26,3% de '01', 26,3% de '10' et 24,5% de '11'. Ce résultat n'est pas très éloigné du résultat attendu (25% chacune), et si nous additionnons les '01' et '10' (c'est-à-dire si nous comptons les alternances), nous obtenons 52,6%. Nous observons un léger biais en faveur des alternances, même si il est moins important que celui rapporté par Delahaye (60%).

Comment comprendre cette différence avec les résultats de Delahaye ? Cela pourrait être dû à un échantillon trop petit, mais nous avons voulu regarder la distribution. Nous avons réalisé la même courbe que précédemment, mais en étudiant le nombre d'alternances (c'est-à-dire de '01' et de 10') au lieu du nombre de '0'. Dans l'histogramme, on voit apparaître une zone (entre 36 et 45) qui montre le biais d'alternance pour beaucoup de sujets. Mais la zone entre 16 et 21 montre des sujets qui ont créé un nombre anormalement bas d'alternances, ce sont eux qui font baisser la moyenne. En regardant les données, on voit que ce sont ceux qui ont créé de beaucoup trop longues successions de '0' ou de '1'. Sans ces résultats anormaux, notre moyenne serait plus proche de celle de Delahaye.

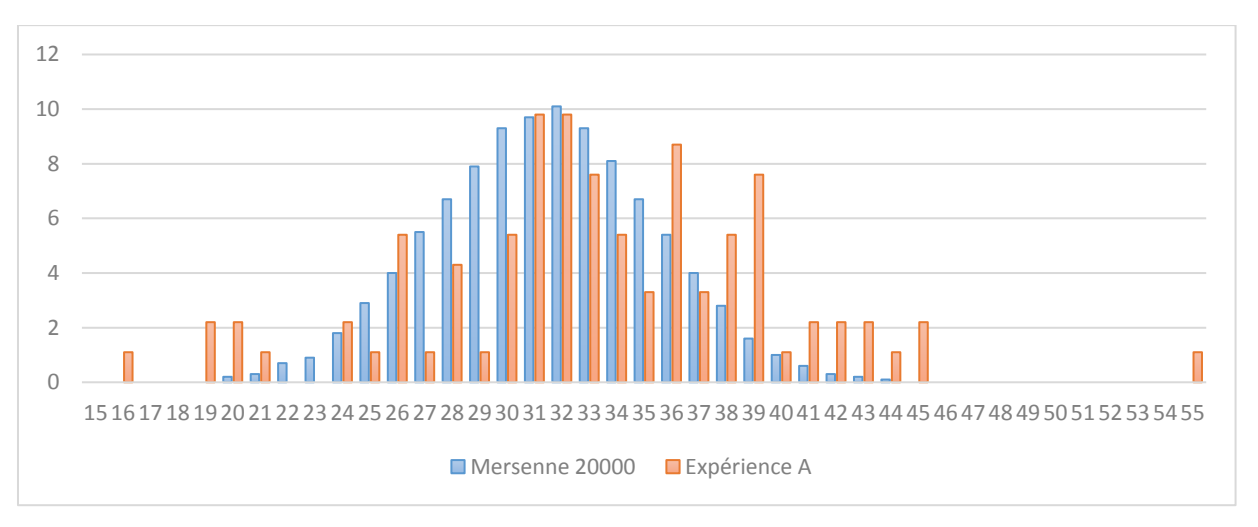
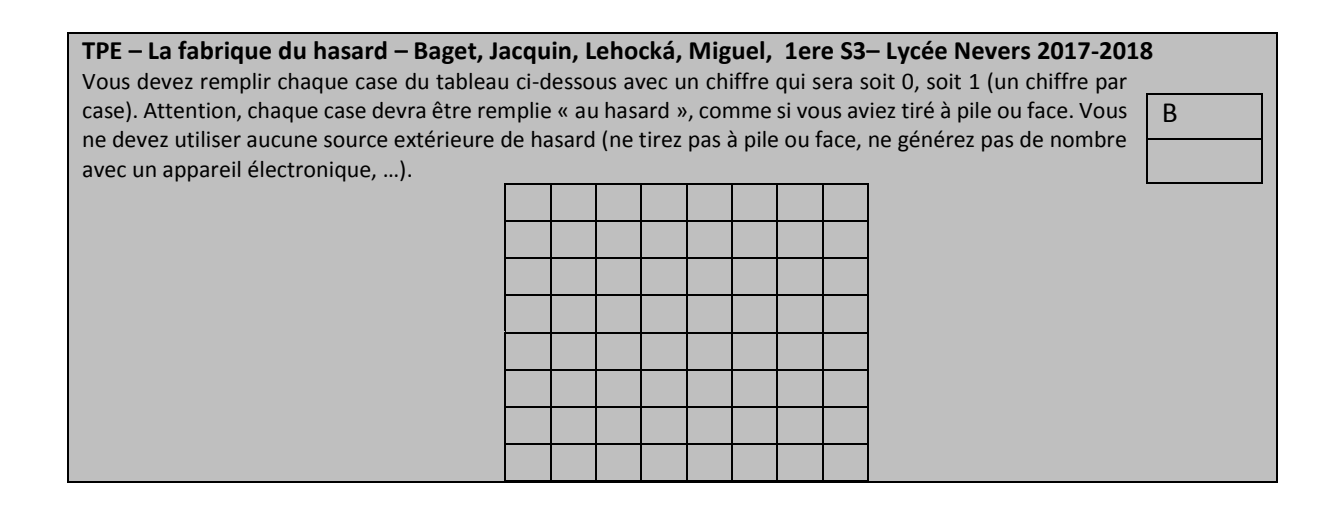


Figure 13 Distribution des alternances: comparaison entre l'expérience A et Mersenne Twister

3.3.2 Expérience B : production de hasard en utilisant un tableau

Comme il nous a semblé que l'être humain reconnait mieux le hasard graphiquement (quand les chaînes sont organisées dans un tableau), nous nous sommes demandé si on pouvait produire du hasard de meilleure qualité en l'organisant directement dans un tableau. Nous avons donc demandé à plusieurs personnes de remplir la fiche ci-dessous. Les sujets devaient, comme dans l'expérience A, remplir 64 bits, mais cette fois-ci ils étaient organisés dans un tableau 8x8. Nous avons eu 64 réponses.



Frequency (monobit) test: Dans cette expérience, il y a 48,8% de '0', ce qui est similaire au résultat de l'expérience A (49,2%). Ici aussi, nous étudions la distribution de ces '0'. Il y a encore un trop grand nombre de personnes qui ont trouvé exactement la moyenne, mais à part un sujet qui n'a trouvé que dix '0', on n'observe pas de résultats anormaux ni les deux pics qui indiquaient un déséquilibre. Le tableau semble avoir aidé les sujets de l'expérience à trop équilibrer le nombre de '0' et de '1'.

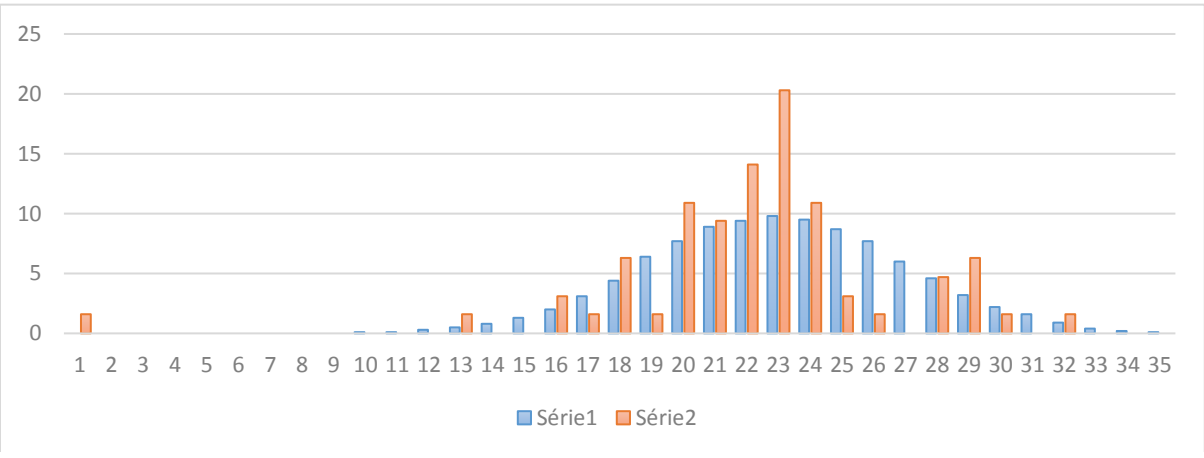


Figure 14 Distribution des '0': comparaison entre l'expérience B et Mersenne Twister

Test For Frequency Within A Block: Dans cette expérience, il y a 55,6% d'alternances, c'est-à-dire plus que ce que nous avions trouvé dans l'expérience A (52,6%), mais toujours moins que ce qui est dit par

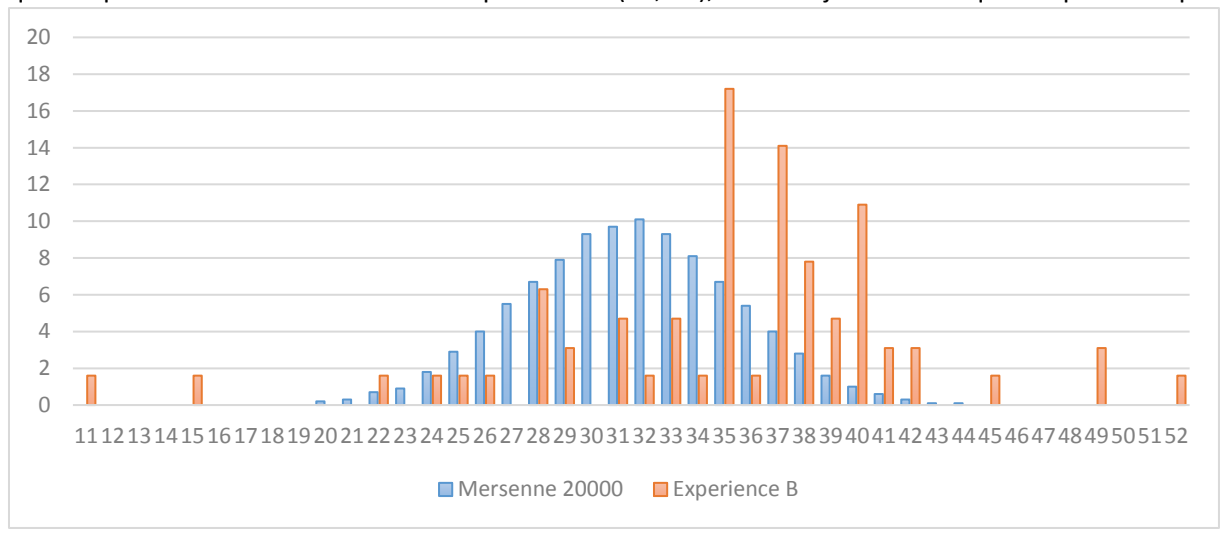


Figure 15 Distribution des alternances: comparaison entre l'expérience B et Mersenne Twister

Delahaye (60%). Contrairement à notre intuition, le biais d'alternance est encore plus marqué et l'organisation dans un tableau n'a pas aidé les sujets dans leur production de hasard. On voit dans l'histogramme que la zone qui indique le biais d'alternance (35-42) est un peu moins étalée que dans l'expérience A (36-45), mais beaucoup plus élevée (maximum à 17,2%, mais 8,7% dans l'expérience A). Nous expliquons ce renforcement du biais de la façon suivante : au lieu de remplir 2 grandes lignes de taille 32 dans l'expérience A, les sujets ont rempli 8 petites lignes de taille 8. Ceci a diminué le nombre et la taille de successions de bits identiques (par exemple, il est plus choquant d'avoir 4 '0' successifs dans une ligne de taille 8 que dans une ligne de taille 32), et donc mécaniquement augmenté le nombre d'alternances, ce qui a renforcé le biais.

Lignes et colonnes : Nous avons-nous même introduit un biais dans notre analyse des résultats. En effet, quand nous avons entré les données dans un fichier, nous avons lu les tableaux 8x8 ligne par ligne pour créer les chaînes que nous avons analysées. Pourtant, lorsque les personnes ont rempli ces tableaux, elles voyaient également les colonnes. Ceci peut faire une différence.

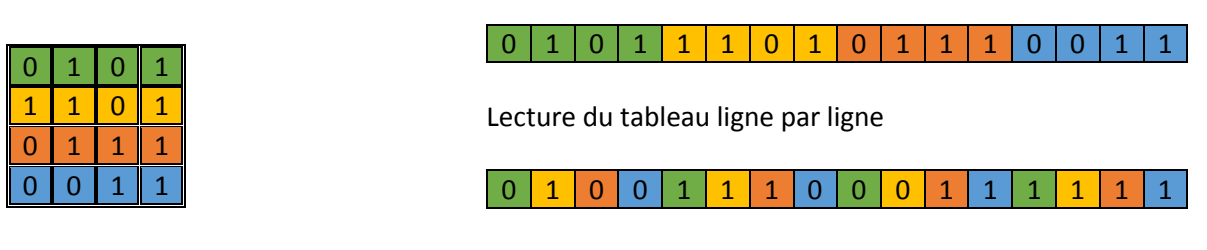


Tableau Lecture du tableau colonne par colonne

Tableau 2 Différence entre la lecture d'un tableau ligne par ligne et sa lecture colonne par colonne

En lisant le tableau ligne par ligne, nous trouvons 9 alternances sur 15 (60%), mais en le lisant colonne par colonne, nous n'en trouvons plus que 5 (33%). Il faudrait maintenant calculer la distribution des alternances de notre expérience B en lisant chaque résultat en colonne, et comparer ceci avec la même lecture de l'expérience A pour savoir si l'organisation en tableau a amélioré ou empiré la qualité de hasard. Cette idée tardive n'a pas pu être présentée, les deux programmeurs préparant leurs examens.

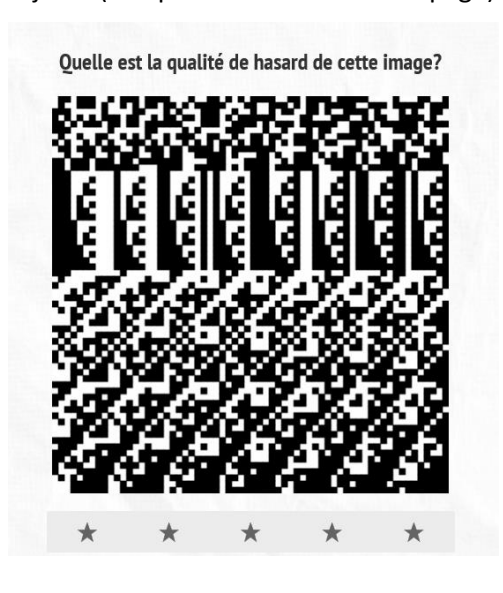
3.3.3 Expérience C : reconnaissance du hasard

Nous avons conçu une expérience permettant de tester si un être humain est capable de reconnaitre du hasard. Cette expérience a pris la forme d'un sondage sur le site Survio.com, et notre questionnaire est visible à l'adresse https://www.survio.com/survey/d/L4P8F7M8E9W9J9O9M. Nous en avons fait la publicité sur Facebook, et nous avons reçu 92 réponses en 3 jours (900 personnes ont visité la page).

La plupart des sondés ont pris entre 1 et 2 minutes pour répondre. Nous avons présenté plusieurs chaînes de '0' et de '1', soit sous forme **binaire** (les 324 premiers caractères de la chaîne elle-même), soit sous forme **graphique** (un dessin de la chaîne complète de taille 4096, comme expliqué en 3.1.1). A chaque fois, le sondé devait donner une note entre 1 (pas du hasard) et 5 (hasard parfait).



Figure 16 Notre sondage sur survio.com: évaluation du hasard sous forme binaire (ci-dessus) et sous forme graphique (à droite)



Type de hasard	Nom	Explication	Binaire	Graphique
Pas de hasard	D1	Répétitions de la chaîne '001'	1	х
	D2	Identique à D1, 8 '1' rajoutés	6	х
	D3	Enumération en binaire	16	13
Hasard humain	A1	64 premières réponses de l'expérience A	х	14
	A2	64 dernières réponses de l'expérience A	5	11
	В	Réponses de l'expérience B	7	15
Hasard	G1	Générateur congruentiel linéaire RANDU	4	10
informatique	G2	Calculatrice TI 82	3	9
	G3	Mersenne Twister	Х	12
Hasard quantique	Q	Carte Quantis QRNG (voir 2.3.3)	2	8

Tableau 3 Elaboration des questions du sondage sur survio.com

Nous avons élaboré 10 chaînes de différentes façons. Trois ne sont pas au hasard : on doit le voir immédiatement sur D1, presque immédiatement sur D2, et c'est difficile à voir sur D3, qui est obtenue en collant la suite des entiers écrits en binaire (0', '1', '10', '11', '100', '101', '110', '111', '1000', ...). Nous avons lu que cette chaîne D3 trompe tous les tests de k-uniformité, si elle est assez longue. Trois sont obtenues avec les résultats de nos expériences précédentes. Trois sont obtenues par des générateurs aléatoires : le très mauvais RANDU, notre calculatrice TI 82 (en générant des entiers entre 0 et 65535, on obtient 16 bits au hasard, il a fallu recommencer 4x64 fois), et le très bon Mersenne Twister. Enfin, nous avons récupéré sur le site http://www.randomnumbers.info/ 4096 bits générés par une carte quantique. Le tableau 3 résume ceci. La chaîne G2 sous forme binaire est notée G2b, elle est présentée à la question 3 du sondage. Sous forme graphique elle est notée G2g, et elle est présentée à la question 9.

Le site Survio.com permet de retirer des statistiques les sondés qui n'ont pas l'air sérieux. Nous en avons retiré un, le premier qui a répondu, et qui avait mis 5 étoiles pour toutes les questions. Les résultats que nous présentons maintenant ne concernent que les 91 autres sondés. Nous examinons dans un histogramme les notes moyennes (calculées par survio.com) pour les différentes chaînes.

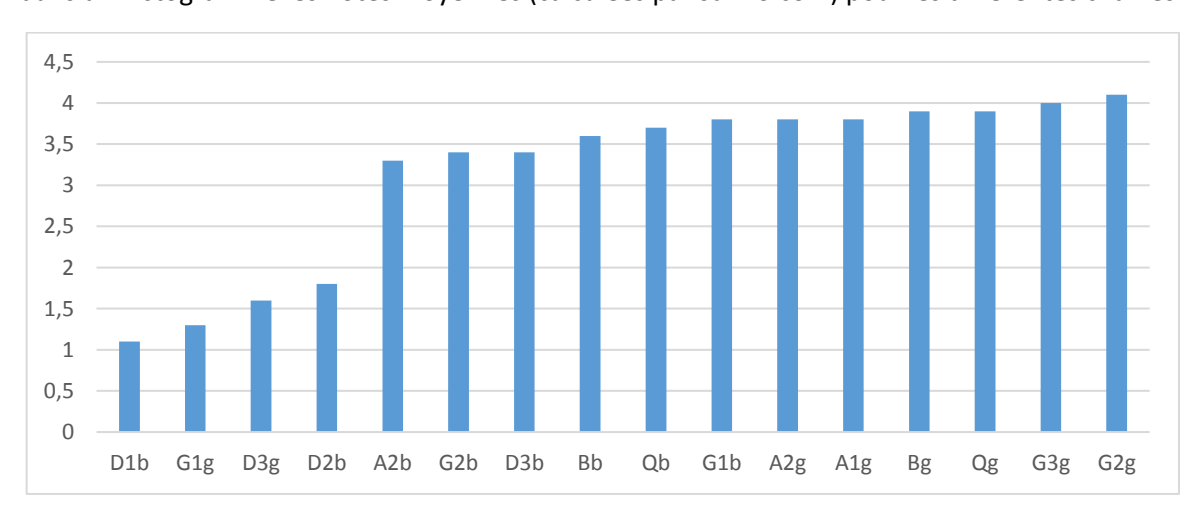


Figure 17 Notes moyennes obtenues par les différentes expériences

Nous observons dans cet histogramme deux groupes nettement séparés. Ceux qui ont une note inférieure à 1,8 et ceux qui ont une note supérieure à 3,3. Des chaînes ont été jugées bonnes, d'autres mauvaises, mais il n'y a rien entre les deux. Sans surprise, le mauvais groupe contient les chaînes binaires D1b et D2b, ainsi que les graphiques G1g et D3g. On remarque aussi que dans le bon groupe, les notes les plus basses sont toujours données aux chaînes binaires, et les plus hautes aux représentations graphiques.

Comme on le voit dans la figure suivante, l'ordre sur les représentations graphiques n'est pas surprenant, G1g et D3g sont clairement de moins bonne qualité que les autres. Nous voyons aussi que les chaînes générées par des personnes sont un peu moins bien notées que celles obtenues par générateurs, même si personne n'a pu nous l'expliquer. Seule surprise, la bonne note de Bg malgré la ligne noire horizontale suspecte au milieu (une trop longue séquence de '1').

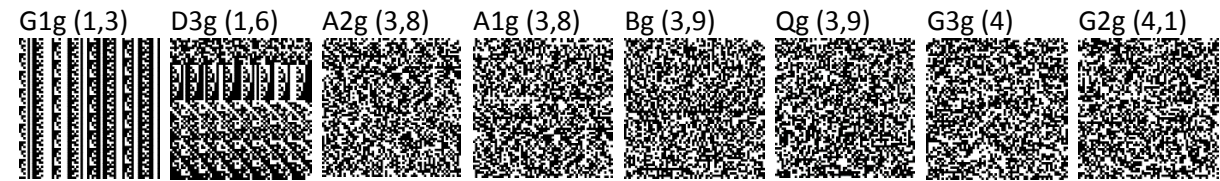


Figure 18 Classement des chaînes présentées sous forme graphique

L'ordre sur les représentations binaires est plus surprenant. La chaîne G1b est la mieux notée des représentations binaires, alors qu'elle correspond à un générateur (RANDU) extrêmement mauvais, ce qui est prouvé par la très mauvaise note (justifiée) donnée à sa version graphique G1g. Nous allons donc comparer les notes attribuées aux mêmes chaînes sous leur forme graphique et binaire. On voit bien dans l'histogramme ci-dessous que les chaînes dont la forme graphique a été jugée mauvaise ont reçu de bonnes notes pour leur forme binaire. En fait, pour les moyennes des chaînes binaires, les sondés on soit vu que ce n'est pas du hasard (les cas simples D1 et D2), soit semblent n'avoir rien vu et donné des notes correctes (entre 3,3 et 3,8), mais pas aussi bonnes que pour les graphiques où ils ont « vu » que ça ressemble à du hasard (entre 3,8 et 4,1).

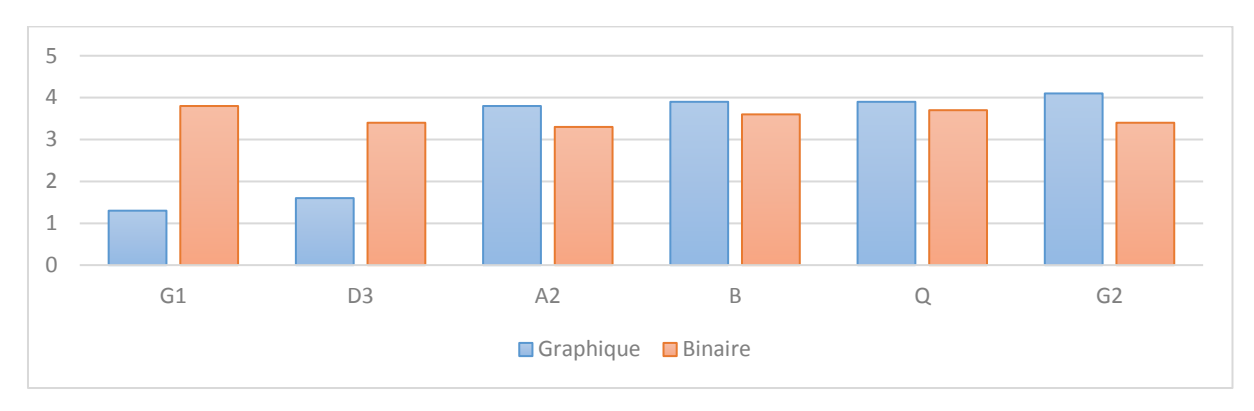


Figure 19 Comparaison des moyennes obtenues sous forme graphique et binaire

En conclusion, nous pouvons dire que :

- 1. A part dans les cas les plus simples (D1 et D2), les sondés sont incapables de reconnaître du hasard quand il est présenté sous forme binaire. Ceci rejoint les conclusions de Delahaye.
- 2. La forme graphique aide fortement les sondés à reconnaitre du mauvais hasard, mais pas toujours. En effet nous avons vu que les chaînes A2 et B présentaient un biais d'alternance, et le graphique n'a pas aidé à repérer ce biais.

Enfin, il aurait été intéressant de proposer d'autres méthodes de visualisation des chaînes (par exemple celle décrite en 3.1.2, qui crée des images en niveau de gris) pour aider à repérer du mauvais hasard. Mais pour créer ces images en niveaux de gris, nous aurions eu besoin de chaînes beaucoup plus longues : nous n'avions pas les moyens de faire remplir autant de fiches.

CONCLUSION

Les scientifiques considèrent aujourd'hui que le hasard n'existe qu'au niveau atomique. Dès qu'on a assez d'atomes (cellules, pièces de monnaie), la loi des grands nombres fait que les systèmes sont déterministes, même si les erreurs de mesure peuvent rendre les résultats imprévisibles.

Dans la première partie de ce travail, nous avons présenté les travaux de Jean-Jacques Kupiec, dont la théorie expose de nouvelles sources de hasard au sein des cellules (la différenciation cellulaire comporterait une part de hasard) ou des molécules (l'emboîtement des protéines se ferait au hasard). Si on considère que le vrai hasard n'existe qu'au niveau quantique, le hasard dont parle Kupiec sera plutôt de l'imprévisibilité.

Dans la seconde partie, nous nous sommes intéressés au hasard produit par les ordinateurs. Dans la plupart des cas, ce hasard est construit par des algorithmes. Or un ordinateur est entièrement déterministe et, si on connait le programme, le résultat est entièrement prévisible. Ce qui est produit par ces algorithmes ne peut donc pas être appelé du hasard, mais doit y ressembler pour assurer la sécurité de nos comptes bancaires. Nous nous sommes donc intéressés aux définitions mathématiques de la qualité du hasard (complexité de Kolmogorov), puis à des tests statistiques moins efficaces mais qui ont l'avantage d'être calculables. Enfin, nous avons recherché comment l'ordinateur produisait du « hasard » : par des algorithmes, déterministes et prévisibles, comme celui de Von Neumann, ou par des appels à des sources extérieures de hasard (comme le bruit atmosphérique, déterministe mais imprévisible, ou des expériences en physique quantique, supposées être parfaitement aléatoires).

Enfin, dans la troisième partie, nous avons cherché à savoir si l'être humain est capable de produire et de reconnaitre du hasard. Pour la philosophe Patricia Churchland (Marchal, 2004), « l'existence de tant de mouvements chaotiques avec les effets papillons correspondants est la raison réelle de la possibilité, et de l'existence, de la liberté : notre libre arbitre a constamment un grand nombre d'opportunités pour agir décisivement à un prix presque nul. » Ainsi, pour cette philosophe, le libre-arbitre est lié à l'imprévisibilité. Ce libre-arbitre, cette faculté d'imprévisibilité du cerveau humain, permet-il produire du hasard de bonne qualité ? Nos expériences confirment les résultats relatés dans (Delahaye, 2004) : nos biais cognitifs (par exemple le biais d'alternance) font que nos productions de hasard ne respectent trop souvent pas les lois du hasard. Mais, alors que, comme dans (Delahaye, 2004), nous pouvons confirmer que le cerveau humain ne sait pas reconnaitre si une expérience, sous forme textuelle (binaire) est au hasard ou pas, nous avons pu confirmer qu'une représentation graphique de cette expérience améliorait fortement cette reconnaissance.

Nous avons été surpris au cours de nos recherches et de nos expériences par l'influence des biais cognitifs qui empêchent l'être humain d'évaluer correctement le hasard, et donc plus généralement, les évènements imprévisibles. De nombreux biais similaires ont été étudiés en psychologie cognitive, mais ils n'ont pas pu trouver leur place dans ce travail, focalisé sur la production de chaînes binaires. Par exemple la théorie du cygne noir (Wikipedia, 2008) explique que les êtres humains sous-évaluent la probabilité d'un évènement rare (qui a une faible probabilité d'apparition), même si ses conséquences peuvent être catastrophiques (par exemple l'explosion d'une bulle financière).

BIBLIOGRAPHIE

Barker Elaine et Bassham Lawrence Guide to the statistical tests [En ligne] // National Institute of Standards and Technology. - 2016. - https://csrc.nist.gov/Projects/Random-Bit-Generation/Documentation-and-Software/Guide-to-the-Statistical-Tests.

Chevassus-au-Louis Nicolas Entretien avec Jean-Jacques Kupiec : « la probabilité a sa place dans le fonctionnement des cellules » [Revue] // La Recherche. - 2017. - HS 21.

Delahaye Jean-Paul et Gauvrit Nicolas Le hasard géométrique n'existe pas [Revue] // Pour la Science. - mars 2006. - 341.

Delahaye Jean-Paul Les dés pipés du cerveau [Revue] // Pour la Science. - décembre 2004. - 326.

Gillespie Colin RANDU: The case of the bad RNG [En ligne] // Why?. - 2016. - https://csgillespie.wordpress.com/2016/02/16/randu-the-case-of-the-bad-rng/.

Inconnu Le générateur de nombres aléatoires de la TI82-83 [En ligne] // MathémaTICE. - 2015. - http://revue.sesamath.net/IMG/pdf/activite_nbaleat_spemath.pdf.

Inconnu Visualise radomness [En ligne] // Type OCAML. - 2015. - http://typeocaml.com/2015/11/22/visualise_random/.

Kupiec Jean-Jacques L'ADN entre hasard et contraintes [Revue]. - 2013. - 81.

Kupiec Jean-Jacques Le Darwinisme cellulaire [Article] // Pour la Science. - 2009. - 63.

Marchal Christian Déterminisme, hasard, chaos, liberté. Henri Poincaré et la révolution des idées scientifiques au vingtième siècle [Conférence]. - Paris : [s.n.], 2004.

PHP mt_rand [En ligne] // PHP. - 2005. - http://php.net/manual/fr/function.mt-rand.php.

Pollock Rich Randomness in Excel [En ligne] // Bit Wrangling. - 2014. - http://blog.richpollock.com/2014/08/randomness-in-excel/.

SA ID Quantique Random number generation white paper - What is the Q in QRNG? [En ligne] // ID Quantique. - 2017. - https://marketing.idquantique.com/acton/attachment/11868/f-0226/1/-/-/-/What%20is%20the%20Q%20in%20QRNG_White%20Paper.pdf.

Wikipedia Complexité de Kolmogorov [En ligne] // Wikipedia. - 2005. - https://fr.wikipedia.org/wiki/Complexité_de_Kolmogorov.

Wikipedia Générateur congruentiel linéaire [En ligne] // Wikipedia. - 2005. - https://fr.wikipedia.org/wiki/Générateur_congruentiel_linéaire.

Wikipedia Générateur de nombres pseudo-aléatoires [En ligne] // Wikipedia. - 2005. - https://fr.wikipedia.org/wiki/Générateur_de_nombres_pseudo-aléatoires.

Wikipedia Middle-square method [En ligne] // Wikipedia (en). - 2004. - https://en.wikipedia.org/wiki/Middle-square_method.

Wikipedia Suite Aléatoire [En ligne] // Wikipedia. - 2009. - https://fr.wikipedia.org/wiki/Suite_aléatoire.

Wikipedia Théorie du cygne noir [En ligne] // Wikipedia. - 2008. - https://fr.wikipedia.org/wiki/Théorie_du_cygne_noir.

ANNEXE A: A PROPOS DES GENERATEURS PSEUDO-ALEATOIRES

Nous avons trouvé sur un forum PHP un programme (écrit en 2015 par un certain *Phan*) qui permettait de générer des chaînes de bits avec différents générateurs. Nous n'avons besoin que de la fonction

get_random_string (\$length, \$function, \$chunks)

qui crée une chaîne de bits de longueur \$length, et crée \$chunks bits à chaque fois en appelant le générateur \$function. Par exemple, \$a = get_random_string(8, 'mersenne', 2); va retourner une chaîne aléatoire de taille 8 bits. Chaque appel au générateur 'mersenne' (Mersenne Twister) va créer deux bits, il faudra donc 4 appels pour créer la chaîne. Ce programme peut utiliser plusieurs générateurs: Mersenne Twister, plusieurs générateurs congruentiels linéaires (celui de PHP, celui de Borland C++, celui recommandé par Donald Knuth, et le très mauvais RANDU), et l'algorithme de Von Neumann dont nous avons parlé dans le TPE. Comment utiliser cette fonction? Pour créer 64 bits, faut-il appeler 1 fois le générateur en créant 64 bits d'un coup, 64 fois le générateur en créant 1 bit à chaque fois, ou entre les deux (4 appels avec 16 bits à chaque fois)?

	Nom	bre de bits pro	duits à chaque	e appel du gén	érateur (\$ chu	nks)
Générateur	1	4	8	16	32	64
GCL RANDU			CANADADADADADADADADADADADADADADADADADADA			Erreur
Von Neumann						Erreur
GCL Knuth						Erreur
GCL Borland C++						Erreur
GCL PHP	3					
Mersenne Twister						

Tableau 4 Représentation graphique des appels aux générateurs aléatoires avec différents paramètres \$chunks

Nous avons donné dans le tableau ci-dessus les représentations de chaînes de 4096 bits (\$1 ength = 4096) créées avec plusieurs générateurs et différents paramètres de \$chunks. Il montre que la valeur de \$chunks change la qualité du hasard. Avec \$chunks = 1, RANDU et Von Neumann ne produisent plus que des '1' (image noire). A partir de \$chunks = 32 bits, le GCL de PHP et Mersenne Twister ne produisent plus que des '0' (images blanches). La valeur 16 nous semble produire la colonne

la plus équilibrée en qualité de hasard (même si le GCL PHP commence à avoir des problèmes avec cette valeur). Nous avons donc choisi \$chunks = 16 pour le reste de nos expériences.

ANNEXE B: TESTS STATISTIQUES

Nous appelons expérience la création d'une chaîne élémentaire de 64 bits. Lorsqu'on utilise un générateur aléatoire, l'expérience est constituée de 4 appels au générateur, chaque fois pour générer 16 bits. En répétant N fois cette expérience, nous obtenons une chaîne globale de taille 64*N. Le programme que nos camarades ont pu écrire génère différentes séries statistiques. Quand nous les présentons, les x_i indiquent les valeurs, les n_i les effectifs et les f_i les fréquences (en pourcentage).

Calcul de la k-uniformité Ces tests sont réalisés sur la chaîne globale. On regarde les blocs de taille k, et les valeurs de la série statistique sont les blocs qui apparaissent dans la chaîne. Par exemple, avec la chaîne globale de taille 6 '000011', on trouverait 4 blocs de taille 3 : on lit '000' dans le premier bloc '000011', encore '000' dans le deuxième bloc '000011', '001' dans le troisième bloc '000011' et enfin '011' dans le dernier bloc '000011'. Ces quatres lectures ('000' deux fois, '001' et '011') sont les valeurs de la série statistique. Pour nos expériences, nous avons fait varier k de 1 à 3. Quand k = 1, notre algorithme compte juste les '0' et les '1' et c'est exactement le frequency (monobit) test du NIST. Quand k est supérieur à 1, c'est le test for frequency within a block du NIST.

Calcul des distributions Pour chacune des N expériences, on compte une valeur qui est soit le nombre de '0' dans la chaîne élémentaire (quand on calcule la distribution des zéros), soit le nombre d'alternances (c'est-à-dire le nombre de '01' + le nombre de '10') dans la chaîne élémentaire (quand on calcule la distribution des alternances

ANNEXE C: MERSENNE 20000

Pour évaluer les distributions des '0' et des alternances de nos deux expériences A (3.3.1) et B (3.3.2), nous avons voulu comparer avec les probabilités théoriques. Comme nous ne savions pas les calculer, nous nous sommes dit qu'on pouvait les approximer avec de très nombreux appels à l'expérience. Nous avons souhaité en faire le plus possible, et nous avons fini par en faire 20000 (à partir de 30000 nous avions une erreur de mémoire). Nous avons donc utilisé le meilleur générateur disponible (Mersenne Twister), avons généré une chaîne de taille 64x20000 = 1280000, et utilisé les programmes écrits par nos camarades étudiants pour faire les analyses statistiques. Nous présentons ici les résultats statistiques de l'analyse de la chaîne globale \$mersenne20000 créée par l'appel à la fonction :

\$mersenne20000 = get_random_string (1280000, 'mersenne', 16);



Test de la moyenne

		_
Xi	<i>'</i> 0'	'1'
ni	640768	639232
f _i (%)	50,1	49,9

TESTS DE K-UNIFORMITE

Test de 2-uniformité

Xi	i	<i>'00'</i>	<i>'</i> 01'	'10'	'11'
n	i	320959	319808	319808	319424
fi	(%)	25,1	25	25	25

Test de 3-uniformité

Χi	′000′	′001′	<i>'010'</i>	'011'	'100'	'101'	'110'	'111'
ni	160905	160053	160375	159433	160054	159754	159433	159991
f i %	12,6	12,5	12,5	12,5	12,5	12,5	12,5	12,5

TESTS DE DISTRIBUTION

Distribution des zeros

Xi	18	19	20	21	22	23	24	25	26	27	28	29	30	31	32	33
ni	6	14	16	50	97	158	259	408	622	870	1275	1543	1783	1887	1968	1899
fi %	0,0	0,1	0,1	0,3	0,5	0,8	1,3	2,0	3,1	4,4	6,4	7,7	8,9	9,4	9,8	9,5
Xi	34	35	36	37	38	39	40	41	42	43	44	45	46	47	48	
ni	1745	1538	1195	921	633	436	316	185	88	45	21	11	7	3	1	
fi %	8,7	7,7	6,0	4,6	3,2	2,2	1,6	0,9	0,4	0,2	0,1	0,1	0,0	0,0	0,0	

Distribution des alternances

Xi	16	17	18	19	20	21	22	23	24	25	26	27	28	29	30	31	32
ni	2	2	8	4	32	60	134	180	354	570	797	1103	1348	1586	1858	1937	2022
fi %	0,0	0,0	0,0	0,0	0,2	0,3	0,7	0,9	1,8	2,9	4,0	5,5	6,7	7,9	9,3	9,7	10,1
Xi	33	34	35	36	37	38	39	40	41	42	43	44	45	46	47	48	
ni	1855	1624	1344	1089	799	561	326	190	110	60	24	12	2	5	1	1	
f _i %	9,3	8,1	6,7	5,4	4,0	2,8	1,6	1,0	0,6	0,3	0,1	0,1	0,0	0,0	0,0	0,0	

Annexe D: Mersenne 64

Cette chaîne a été créée pour le test de reconnaissance. C'est la même que dans l'annexe E, mais avec seulement 64 expériences. \$mersenne64 = get_random_string (4096, 'mersenne', 16);



Test de 2-uniformité

Test de la moyenne

Xi	<i>'</i> 0'	'1'			
ni	2019	2077			
f _i (%)	49,3	50,7			

TESTS DE K-UNIFORMITE

Xi	′00′	′01′	'10'	'11'
ni	1007	1011	1012	1065
f _i (%)	24,6	24,7	24,7	26

Test de 3-uniformité

Xi	<i>'000'</i>	<i>'</i> 001'	<i>'</i> 010'	<i>'</i> 011'	'100'	'101'	<i>'</i> 110 <i>'</i>	'111'
ni	510	497	507	504	497	514	504	561
fi %	12,5	12,1	12,4	12,3	12,1	12,6	12,3	13,7

TESTS DE DISTRIBUTION

Distribution des zeros

Xi	18	19	20	21	22	23	24	25	26	27	28	29	30	31	32	33
ni					2	2	1	3	1	3	3	6	3	2	5	8
f _i %					3,1	3,1	1,6	4,7	1,6	4,7	4,7	9,4	4,7	3,1	7,8	12,5
Xi	34	35	36	37	38	39	40	41	42	43	44	45	46	47	48	49
ni	5	9	5	4	2											
f i %	7,8	14,1	7,8	6,3	3,1											

Distribution des alternances

Xi	16	17	18	19	20	21	22	23	24	25	26	27	28	29	30	31	32
ni									2	2	3	4	9	6	3	8	4
f i %									3,1	3,1	4,7	6,3	14,1	9,4	4,7	12,5	6,3
Xi	33	34	35	36	37	38	39	40	41	42	43	44	45	46	47	48	
ni	4	6	5	2	2	1	1	1	1								
f i %	6,3	9,4	7,8	3,1	3,1	1,6	1,6	1,6	1,6								

CHAINE OBTENUE

Annexe E: Quantis 64

Cette chaîne a été créée pour le test de reconnaissance, et construite avec des chaînes élémentaires de taille 64 générées par une carte quantique sur le site http://www.randomnumbers.info/.



Test de la movenne

Χi ni

fi (%)

Test de 2-uniformité

TESTS DE K-UNIFORMITE

st ue i	a illoyelli	ie	1631	ue z-uiii
	<i>'</i> 0'	'1'		Xi
ı	1971	2125		n _i

•	ac = a	• • • • • • • • • • • • • • • • • • • •			
	Xi	′00′	′01′	'10'	'11'
	ni	903	1067	1067	1058
	f _i (%)	22,1	26,1	26,1	25,8

Test de 3-uniformité

Xi	<i>'000'</i>	<i>'</i> 001'	<i>'</i> 010'	<i>'</i> 011'	'100'	'101'	'110'	'111'
ni	416	486	524	543	486	581	543	515
fi %	10,2	11,9	12,8	13,3	11,9	14,2	13,3	12,6

TESTS DE DISTRIBUTION

Distribution des zeros

Xi	18	19	20	21	22	23	24	25	26	27	28	29	30	31	32	33
ni					1	1	1	2	4	3	4	9	7	7	4	3
f _i %					1,6	1,6	1,6	3,1	6,3	4,7	6,3	14,1	10,9	10,9	6,3	4,7
Xi	34	35	36	37	38	39	40	41	42	43	44	45	46	47	48	49
ni	8	2	4	3	0	0	0	0	0	1						
fi %	12,5	3,1	6,3	4,7	0	0	0	0	0	1,6						

Distribution des alternances

Xi	16	17	18	19	20	21	22	23	24	25	26	27	28	29	30	31	32
ni								1	1	2	0	3	4	4	4	3	5
f _i %								1,6	1,6	3,1	0	4,7	6,3	6,3	6,3	4,7	7,8
Xi	33	34	35	36	37	38	39	40	41	42	43	44	45	46	47	48	
n _i	4	7	7	6	7	3	0	2	0	0	1						
f i %	6,3	10,9	10,9	9,4	10,9	4,7	0	3,1	0	0	1,6						

CHAINE OBTENUE

ANNEXE F: RANDU 64

Cette chaîne a été créée pour le test de reconnaissance. C'est la même que dans l'annexe F, mais avec le générateur RANDU. \$randu64 = get_random_string (4096, 'randu', 16);



Test de la moyenne

Xi	<i>'</i> 0'	'1'
ni	2049	2047
f i (%)	50	50

TESTS DE K-UNIFORMITE

Test de 2-uniformité

Xi	′00′	<i>'01'</i>	'10'	'11'
ni	1027	1022	1021	1025
f _i (%)	25,1	25	24,9	25

Test de 3-uniformité

Xi	<i>'000'</i>	<i>'001'</i>	<i>'</i> 010'	<i>'</i> 011'	<i>'100'</i>	'101'	<i>'110'</i>	'111'
ni	479	548	472	550	549	474	549	475
f i %	11,7	13,4	11,5	13,4	13,4	11,6	13,4	11,6

TESTS DE DISTRIBUTION

Distribution des zeros

Xi	18	19	20	21	22	23	24	25	26	27	28	29	30	31	32	33
ni						1	2	2	0	1	4	3	5	8	11	6
f _i %						1,6	3,1	3,1	0	1,6	6,3	4,7	7,8	12,5	17,2	9,4
Xi	34	35	36	37	38	39	40	41	42	43	44	45	46	47	48	49
ni	8	3	3	2	3	1	0	0	1							
fi %	12,5	4,7	4,7	3,1	4,7	1,6	0	0	1,6							

Distribution des alternances

Xi	16	17	18	19	20	21	22	23	24	25	26	27	28	29	30	31	32
ni										1	2	0	3	6	10	12	8
f _i %										1,6	3,1	0	4,7	9,4	15,6	18,8	12,5
Xi	33	34	35	36	37	38	39	40	41	42	43	44	45	46	47	48	
n _i	12	5	2	1	2												
f i %	18,8	7,8	3,1	1,6	3,1												

CHAINE OBTENUE

ANNEXE G: EXPERIENCE A (92)

Cette chaîne a été créée par sondage pour l'experience A. Elle contient 92 expériences. Pour le test de reconnaissance, nous l'avons coupée en 2 parties (64 premières et 64 dernières expériences).



Test de la movenne

TESTS DE K-UNIFORMITE Test de 2-uniformité

i cot ac it	4 1110 y C111	
Xi	<i>'</i> O'	′1′
ni	2896	2992
f. (%)	10.2	50.8

Xi	<i>'00'</i>	<i>'</i> 01 <i>'</i>	'10'	'11'
ni	1347	1549	1548	1443
f _i (%)	22,9	26,3	26,3	24,5

Test de 3-uniformité

Xi	<i>'000'</i>	′001′	<i>'010'</i>	<i>'</i> 011'	<i>'100'</i>	'101'	<i>'110'</i>	'111'
ni	604	743	794	755	743	805	754	688
f i %	10,3	12,6	13,5	12,8	12,6	13,7	12,8	11,7

TESTS DE DISTRIBUTION

Distribution des zeros

Xi	14	16	24	26	27	28	29	30	31	32	33	34	35	36	37	38
ni	1	1	1	4	4	10	8	7	11	14	6	5	9	4	1	2
f i %	1,1	1,1	1,1	4,3	4,3	10,9	8,7	7,6	12,0	15,2	6,5	5,4	9,8	4,3	1,1	2,1
Xi	40	42	46	51												
ni	1	1	1	1												
f i %	1,1	1,1	1,1	1,1												

Distribution des alternances

Xi	16	19	20	21	24	25	26	27	28	29	30	31	32	33	34	35	36
ni	1	2	2	1	2	1	5	1	4	1	5	9	9	7	5	3	8
fi %	1,1	2,2	2,2	1,1	2,2	1,1	5,4	1,1	4,3	1,1	5,4	9,8	9,8	7,6	5,4	3,3	8,7
Xi	37	38	39	40	41	42	43	44	45	55							
ni	3	5	7	1	2	2	2	1	2	1							
f _i %	3,3	5,4	7,6	1,1	2,2	2,2	2,2	1,1	2,2	1,1							

CHAINE OBTENUE

0100011011100101101110010110111001001100100101
0110001110010011110001001111000110001000100111001111
0101011000000110100111010101010101000000
01000101000101110110110110010011011101001111
1011000111011011100001101101111101010011001101101111
100110010110001010110110111110010100000101
0000000100001111111100101001001011011111
1010000011111111110001010101010101111010
101100011001001101011001001001010010111011010
11111110111111110001100111000000100001111
001100101001001001001111100001011100100
10100110101101001001111011100100000111010
01110100010110001111001111001010111111001001110001100111010
100111010001111011110101111101111111111
010011011100011101010001111101101010011001100101
011000110100111011011011011011011011011
100111101001011000101100000011010101010010000
10001011101101000111101010100110010111010
0110010100011001001111010101100100110101
0001010111000100110101010010000011001111
1101110010011010100000110100110111110101
1101101110110110111100011111000100011010
1100011011100101100010110100111011011111
1010111010010111100101011110010101111010
$\begin{array}{c} 000101101010000101010111011110001001110011001111$
0100100000100101111001101010110111110101
001011101010100000000000000000000000000
0100100010000100001000001000001000010001100011010
0101101100110111011000111110000111110111000111001110011100110
110001011110010100000101101000111101110000
0111001010011110100110111100000110111010
00100111010011110100010110101001100111010
1001100011100011110110101111000110111101101111
1000110001010100011110110110101010101111
11110111011111111111111111111111010000111010
10011010011010010101001100100100110100101
0110011101100001101001101111000001101001100101
10111100101010111100011000110101010101
111001111100111110111110111100010111111
001011001111101111011110111110001111110001111
00000011100001011001010101010111110001111
000010111000110011111111111111111111111
001000011100001111100011000111111110001111

Ε	
	010101111010100111011100011010101111110001111
	100010001110011100111000110101111110001111
	01011001001001110001110011000110100110001101111
	0100101010101000101010101010101010101010
	0110011100111101011110100101001110101111
	0100111100101101000110101010000011001111
	10100110101110001100001110011000101110010011011001001001001111
	0011010111001010111100011101010111000111010
	1011001110011000010110111110001110101111
	1000110011101010011110011011000110100110001111
	1110001110101000011100101010101000011111
	000101001111001101001011101100011001111010
	1110011001001111001010001101001100011001001110011010
	1001111100010101100000011111111110101010
	0110000101001110101011100110111011001100110110011000101
	011110101110000101000100101010111110110
	010011110001111100000111010011001111111
	1110001010000110010011000111101001010001100100100101
	000001010000011110010010000001110100100
	010111011000001000001110111001011110001110000
	1001011101100110001101001010101010110011100111001100110010010
	1100111000110000001110011101110011100011000110001101101101111
	011101010011100101011010011010110101110011011011101110111010
	011001110000101100101101000111011110010000
	0000100100011100111001011001001101110001100110010010001110011100
	001011011100111000010010101111000101001111
	1010011000010111100100011101010100001111
	1011011001110011000111000111100011011111
	1011110000011010000111111001011111000101
	11001111000011101101101101101101010101111
	101011110100011001110011100001100011111010
	100101101011110110111100000110000110101111
	0110001100101011100101011100001011110000
	1101100101101000111010111000101001110001110011010
	0101110101000101001110010110010101010101
	101001110011111000111000110010101010010
	01000010011110001110101000110000111000101
	101001101101101010101010101010001101101
	0001100111001101000100011101001011110000
	101100111010110110100110101110101101101
	0011101011011011011010101010100000010101
	11101001100001100001110101010100011100110000
	00110100101001000011100100100100001000010001000111000101
	110001011010001010001101111110101000101100111000100101

ANNEXE H: EXPERIENCE B (64)

Cette chaîne a été créée par sondage pour l'experience B. Elle contient 64 expériences.



TESTS DE K-UNIFORMITE

Test de la moyenne Test de 2-uniformité

Xi	′00′	′01′	'10'	'11'
n _i	859	1140	1140	956
f _i (%)	21,0	27,8	27,8	23,3

XI	U	1
ni	1999	2097
f _i (%)	48,8	51,2
	• •	• • •

(0) (1)

Test de 3-uniformité

Xi	<i>'000'</i>	′001′	<i>'</i> 010'	<i>'</i> 011'	<i>'100'</i>	'101'	'110'	<i>'111'</i>
ni	370	489	625	514	489	651	514	442
f i %	9,0	11,9	15,3	12,6	11,9	15,9	12,6	10,8

TESTS DE DISTRIBUTION

Distribution des zeros

Xi	10	22	25	26	27	28	29	30	31	32	33	34	35	37	38	39	41
ni	1	1	2	1	4	1	7	6	9	13	7	2	1	3	4	1	1
f i %	1,6	1,6	3,1	1,6	6,3	1,6	10,9	9,4	14,1	20,3	10,9	3,1	1,6	4,7	6,3	1,6	1,6

Distribution des alternances

Xi	11	15	22	24	25	26	28	29	31	32	33	34	35	36	37	38
ni	1	1	1	1	1	1	4	2	3	1	3	1	11	1	9	5
f _i %	1,6	1,6	1,6	1,6	1,6	1,6	6,3	3,1	4,7	1,6	4,7	1,6	17,2	1,6	14,1	7,8
Xi	39	40	41	42	45	49	52									
ni	3	7	2	2	1	2	1									
fi %	4,7	10,9	3,1	3,1	1,6	3,1	1,6									

CHAINE OBTENUE

ANNEXE I: CALCULATRICE TI 82 (64)

Cette chaîne a été créée pour le test de reconnaissance. Elle a été créée par des appels à la fonction aleat de notre calculatrice TI82.



Test de la moyenne

Test de 2-uniformité

Xi	<i>'</i> 0'	'1'
ni	2028	2068
f _i (%)	49,5	50,5

Xi	<i>'00'</i>	<i>'01'</i>	'10'	'11'
ni	1006	1022	1022	1045
f _i (%)	24,6	25	25	25,5

Test de 3-uniformité

Xi	<i>'000'</i>	′001′	<i>'</i> 010'	<i>'</i> 011'	<i>'100'</i>	<i>'</i> 101 <i>'</i>	<i>'110'</i>	'111'
ni	489	517	509	512	517	505	512	533
fi %	11,9	12,6	12,4	12,5	12,6	12,3	12,5	13,0

TESTS DE K-UNIFORMITE

TESTS DE DISTRIBUTION

Distribution des zeros

Xi	18	19	20	21	22	23	24	25	26	27	28	29	30	31	32	33
ni					1	1	0	2	3	3	2	8	4	9	4	7
f _i %					1,6	1,6	0	3,1	4,7	4,7	3,1	12,5	6,3	14,1	6,3	10,9
Xi	34	35	36	37	38	39	40	41	42	43	44	45	46	47	48	49
ni	2	3	8	4	1	0	1	1								
f i %	3,1	4,7	12,5	6,3	1,6	0	1,6	1,6								

Distribution des alternances

Xi	16	17	18	19	20	21	22	23	24	25	26	27	28	29	30	31	32
ni									3	3	4	4	1	1	7	10	8
f _i %									4,7	4,7	6,3	6,3	1,6	1,6	10,9	15,6	12,5
Xi	33	34	35	36	37	38	39	40	41	42	43	44	45	46	47	48	
ni	3	3	9	3	2	0	0	1	1	1							
fi %	4,7	4,7	14,1	4,7	3,1	0	0	1,6	1,6	1,6							

CHAINE OBTENUE